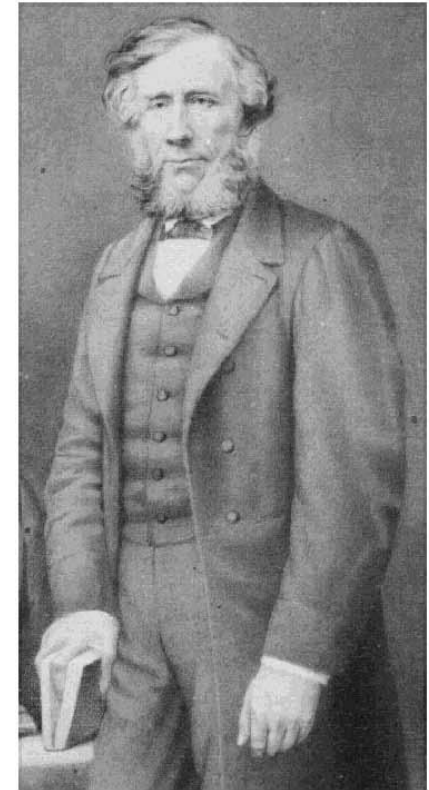
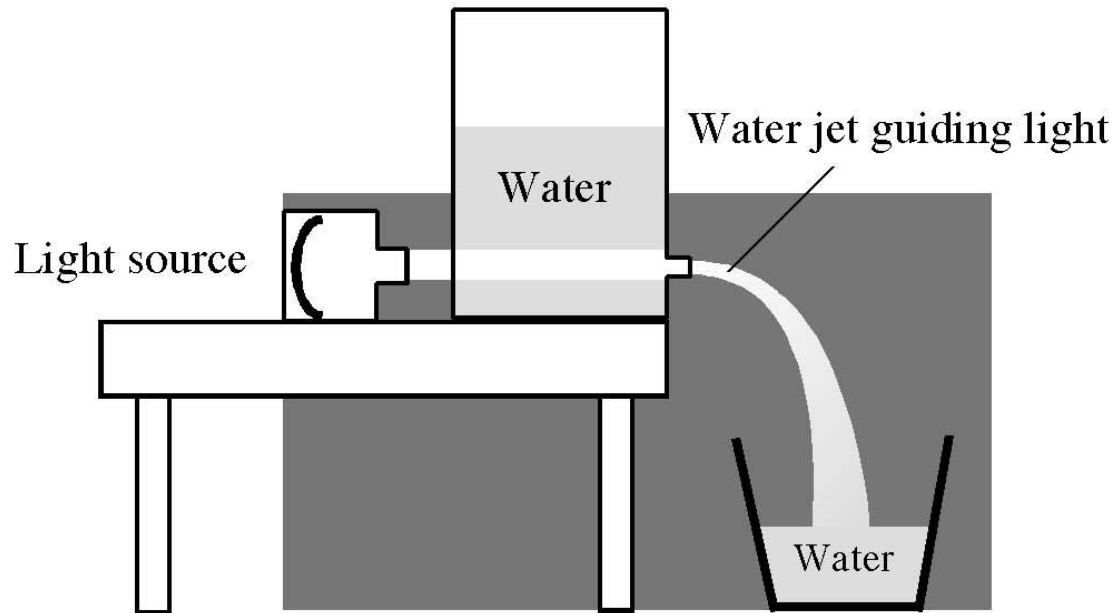


第三章 导波光学

- 3.1 导波光学基础
- 3.2 光波导的一般理论和波导模式
- 3.3 平面光波导
- 3.4 波导模的耦合方法








John Tyndall in 1854 demonstrated to the Royal Institution that a water jet can act as a light guide



1966年，高锟(Charles Kao，2018年9月23日去世)和霍克哈姆(George Hockham)预言了用基于光学全反射原理的光导纤维来传输光的可能性。

为什么要用光? —— 带宽!

传输信息的速率受“载波”频率的限制

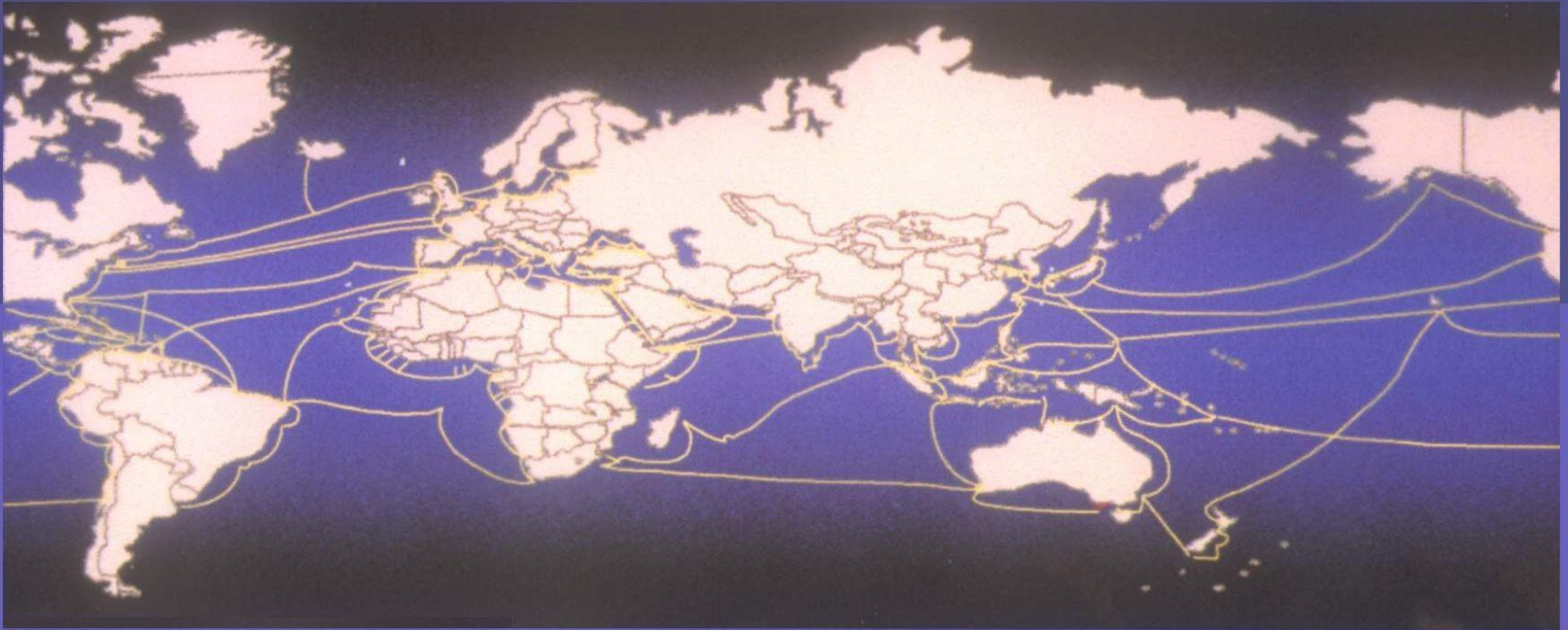
Wave	Called	Carrier
	MF Radio	1MHz,
	HF Radio	10MHz,
	VHF Radio	100MHz
	Microwaves	10GHz
	Infrared Light	200THz

■ 几个GHz以上的数据流必须用光来传输!

Fibre circles the globe.



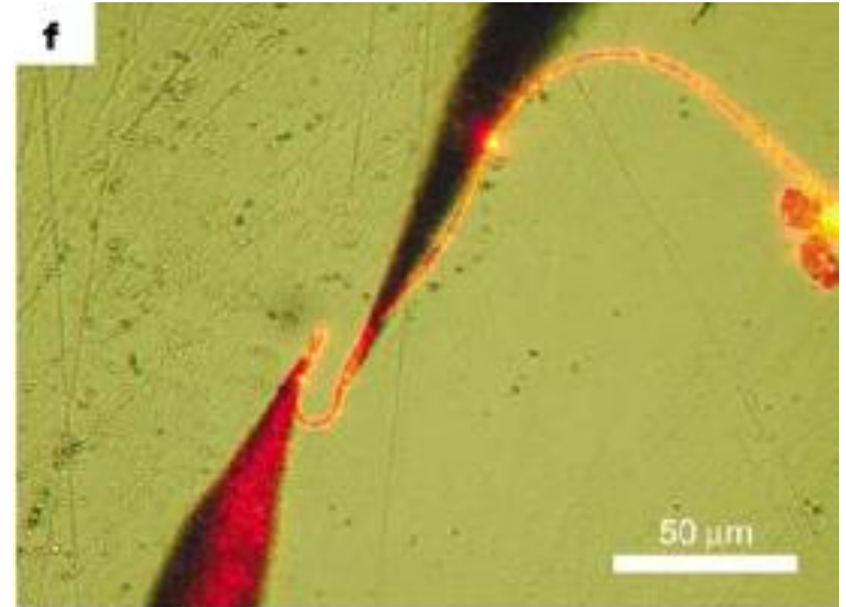
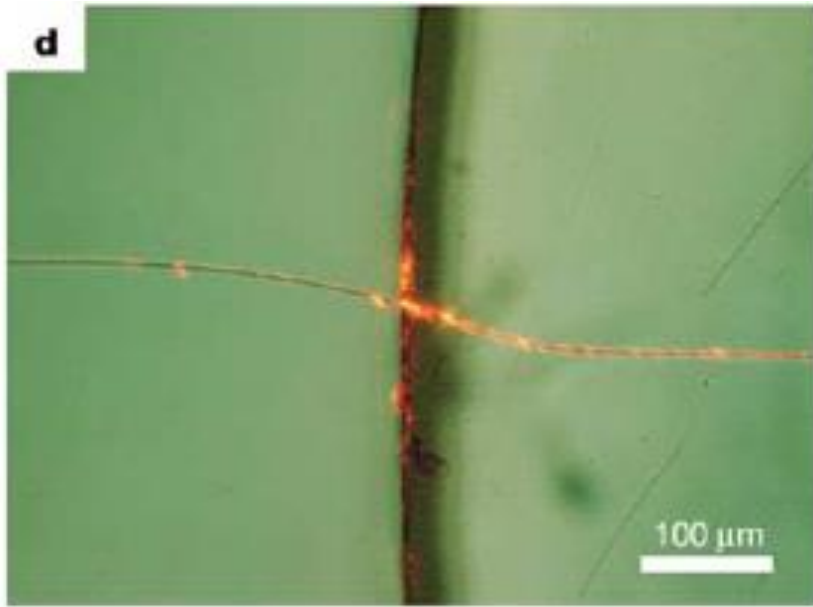
Growth of the world's submarine network (IV)



The project OXYGEN

275,000km cable, 60 cable-boat fleet
262 landing points in 175 countries/locations
100-1,000Gbit/s capacity per fiber, 36 rings

CTR consortium
RFS : end 2003
\$14 billion

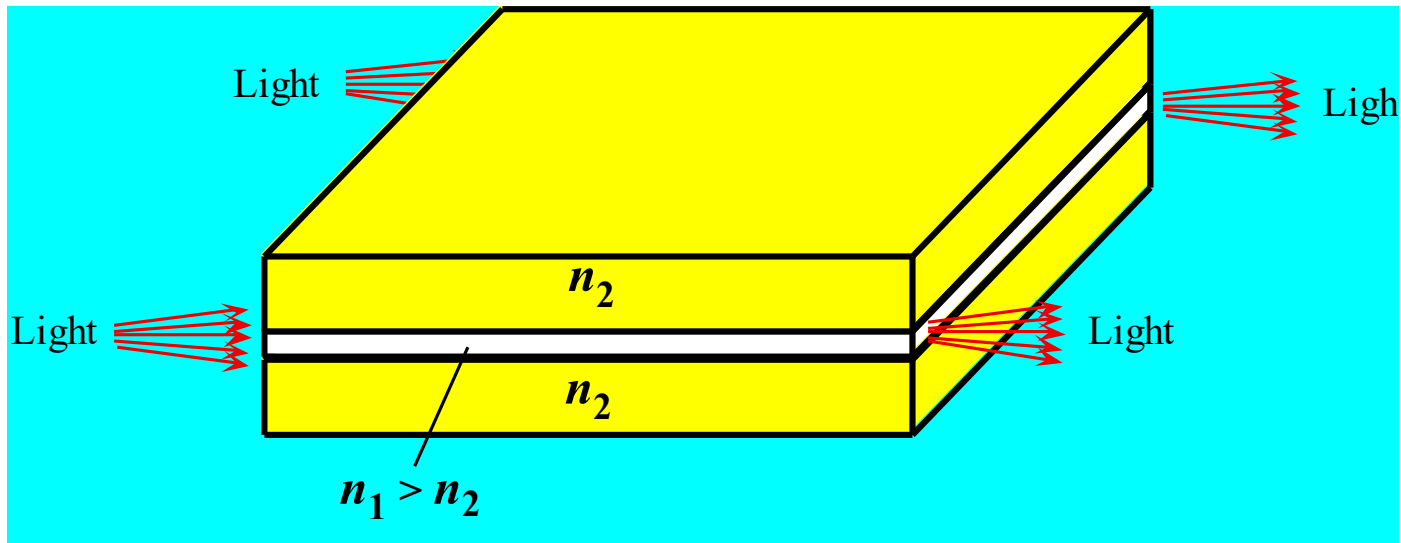


纳米光纤

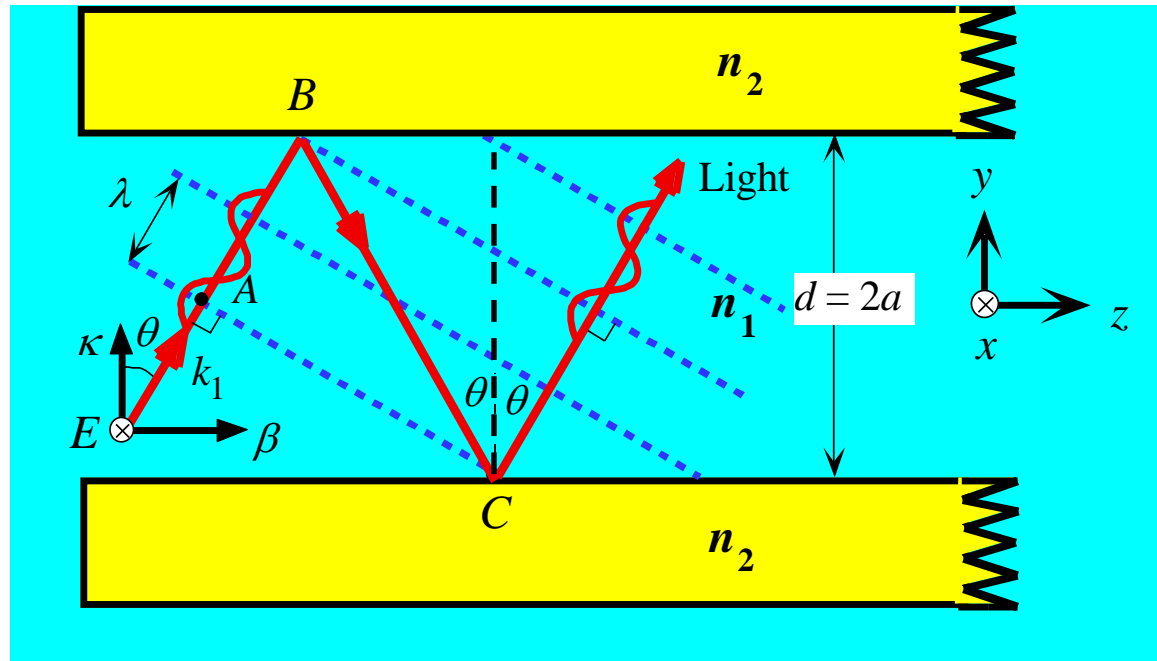
Nature 2003

3.1 导波光学基础

3.1.1 平面波导中的光线



平面光波导的结构示意图



$$\Delta\phi(AC) = k_1 (AB + BC) - 2\phi = m(2\pi) \quad m = 0, 1, 2, \dots$$

$$BC = d / \cos \theta \quad AB = BC \cos(2\theta)$$

$$AB + BC = BC \cos(2\theta) + BC = BC[(2 \cos^2 \theta - 1) + 1] = 2d \cos \theta$$

$$k_1 [2d \cos \theta] - 2\phi = m(2\pi)$$

波导条件：

$$k_1 d \cos \theta_m - \phi_m = m\pi$$

$$\left[\frac{2\pi n_1 (2a)}{\lambda} \right] \cos \theta_m - \phi_m = m\pi$$

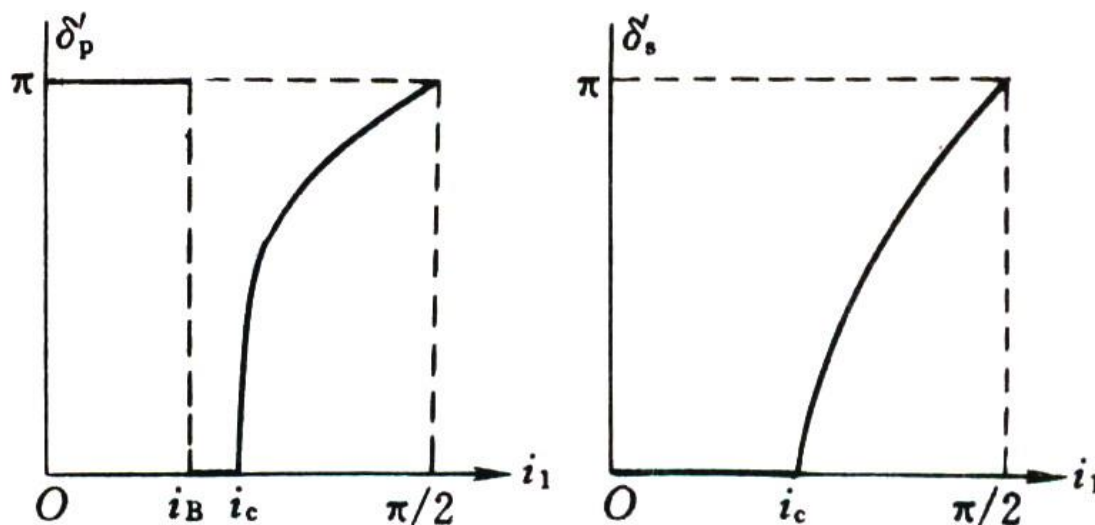
发生全反射时的相移

《现代光学基础》 p129

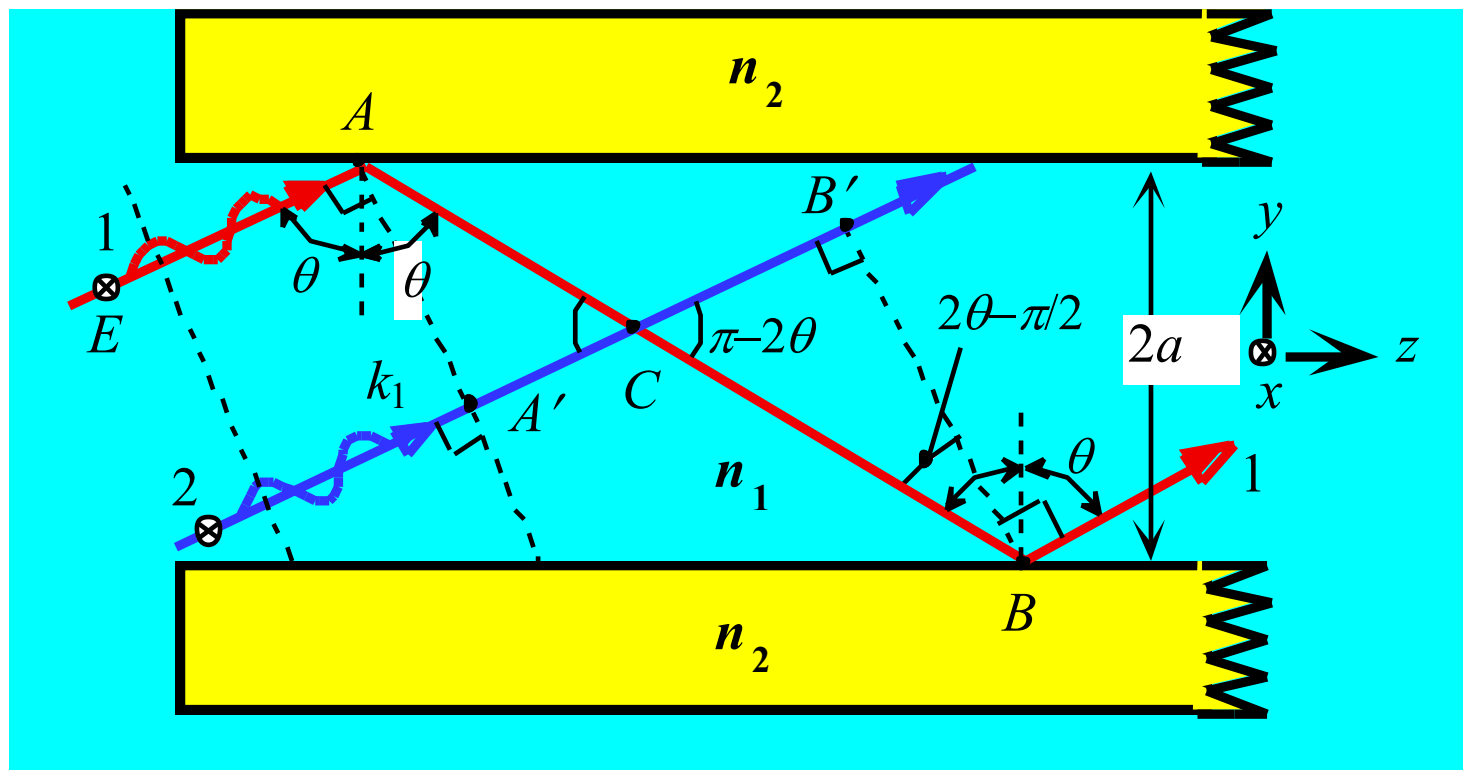
$$\tan \frac{\delta'_p}{2} = \frac{n_1}{n_2} \cdot \frac{\sqrt{\left(\frac{n_1}{n_2} \sin i_1\right)^2 - 1}}{\cos i_1}, \quad (3.30)$$

$$\tan \frac{\delta'_s}{2} = \frac{n_2}{n_1} \frac{\sqrt{\left(\frac{n_1}{n_2} \sin i_1\right)^2 - 1}}{\cos i_1}, \quad (3.31)$$

相移随入射角的变化

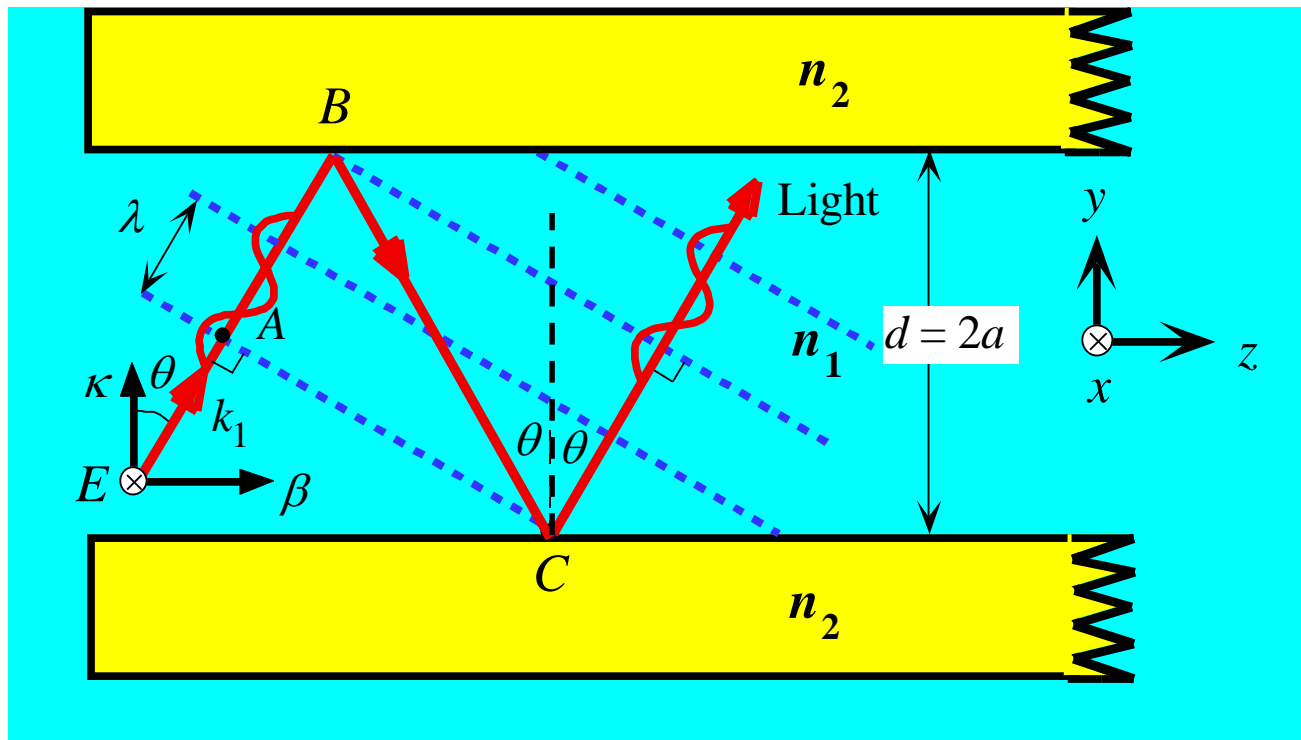


(b) $n_1 > n_2, n_1 = 1.5, n_2 = 1.0$



两条最初同相的平行光在波导中的光路

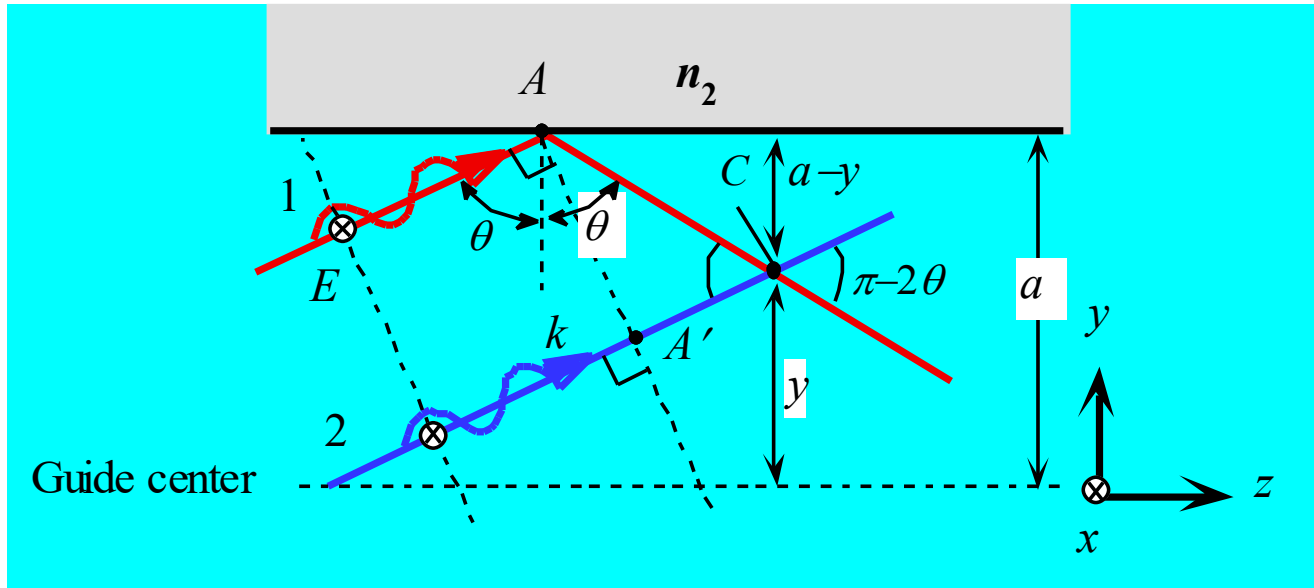
$$k_1(AB - A'B') - 2\phi = m(2\pi)$$



$$\beta_m = k_1 \sin \theta_m = \left(\frac{2\pi n_1}{\lambda} \right) \sin \theta_m$$

$$\kappa_m = k_1 \cos \theta_m = \left(\frac{2\pi n_1}{\lambda} \right) \cos \theta_m$$

平面波导中的场分布

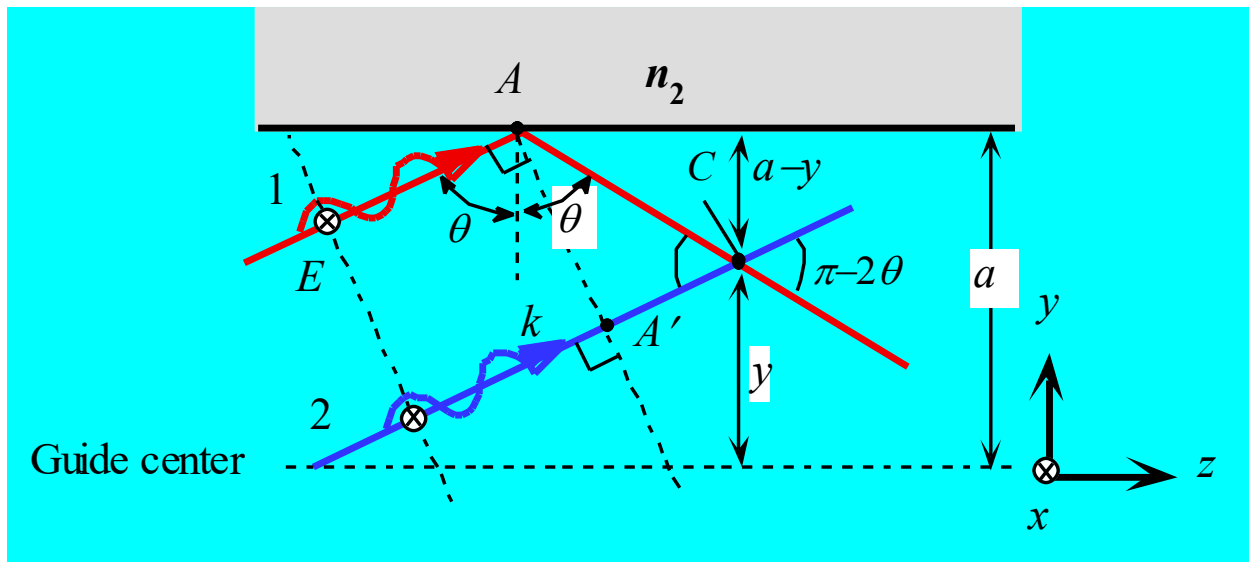


$$AC - A'C = AC - AC \cos(\pi - 2\theta_m) = AC(1 + \cos 2\theta_m) \\ = 2AC \cos^2 \theta_m = 2(a - y) \cos \theta_m$$

$$\Phi_m = (k_1 AC - \phi_m) - k_1 A'C = 2k_1(a - y) \cos \theta_m - \phi_m$$

$$k_1(2a) \cos \theta_m - \phi_m = m\pi \quad 2k_1 \cos \theta_m = \frac{1}{a}(m\pi + \phi_m)$$

$$\Phi_m = \Phi_m(y) = m\pi - \frac{y}{a}(m\pi + \phi_m) \quad \text{相位差是 } y \text{ 的函数}$$

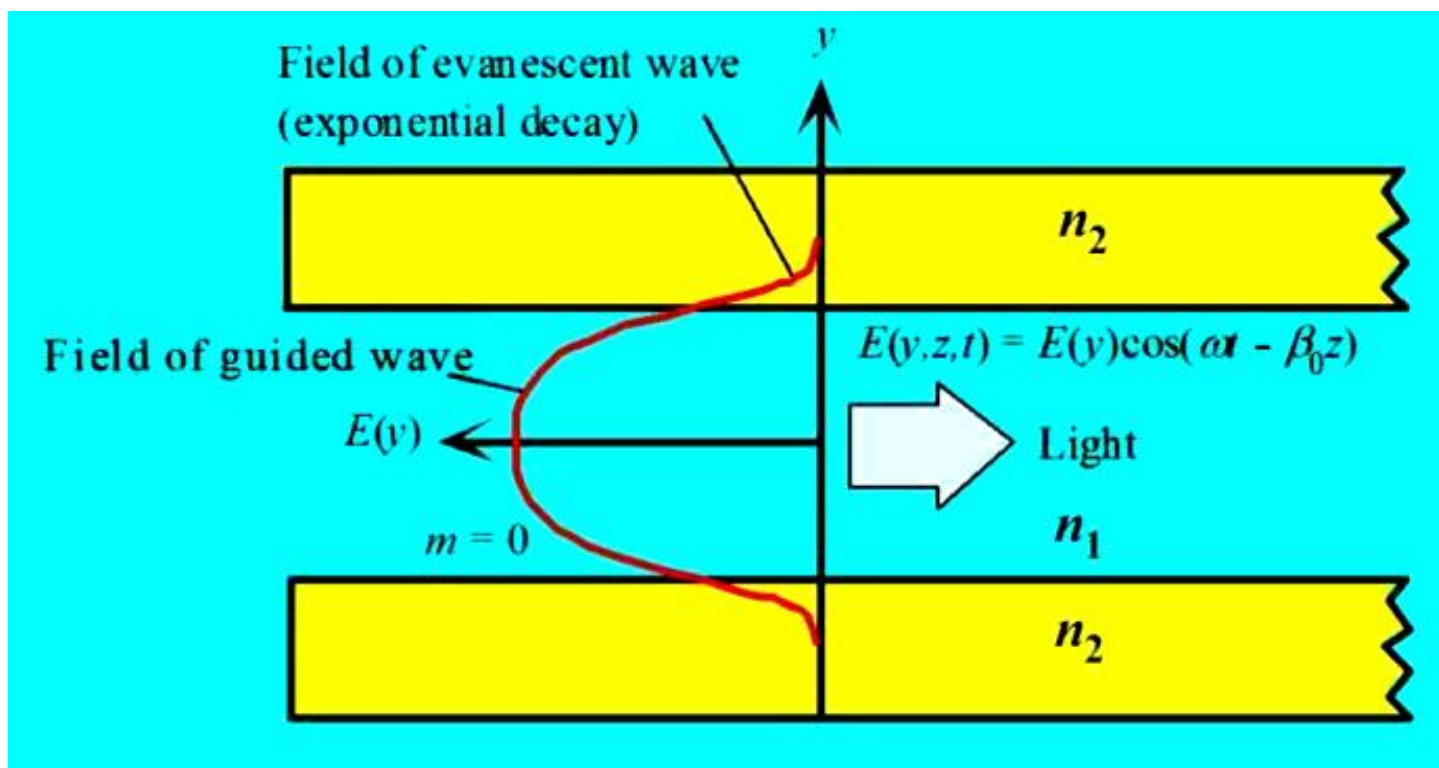


$$E_1(y, z, t) = E_0 \cos(\omega t - \beta_m z + \kappa_m y - \Phi_m)$$

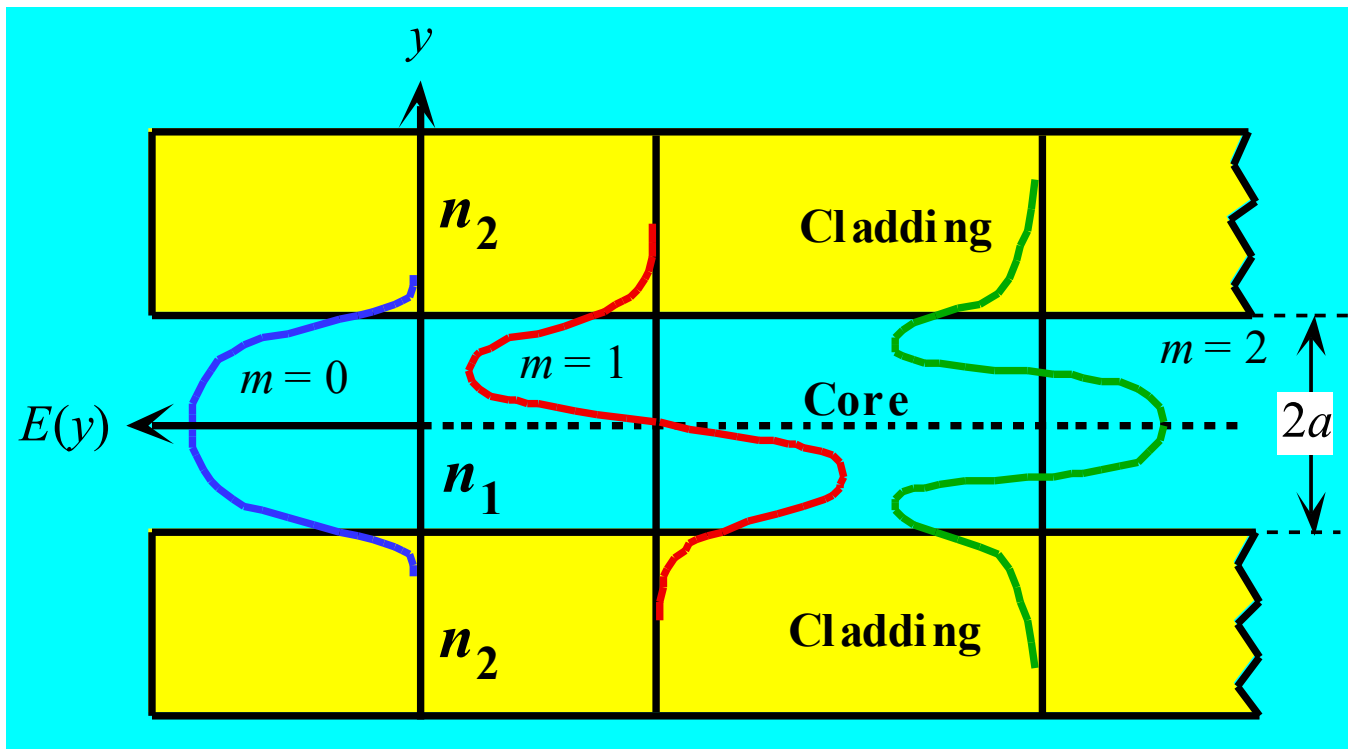
$$E_2(y, z, t) = E_0 \cos(\omega t - \beta_m z - \kappa_m y)$$

$$E(y, z, t) = 2E_0 \cos(\kappa_m y - \frac{1}{2} \Phi_m) \cos(\omega t - \beta_m z - \frac{1}{2} \Phi_m)$$

$$E(y, z, t) = 2E_m(y) \cos(\omega t - \beta_m z)$$



最低模的行波的电场分布

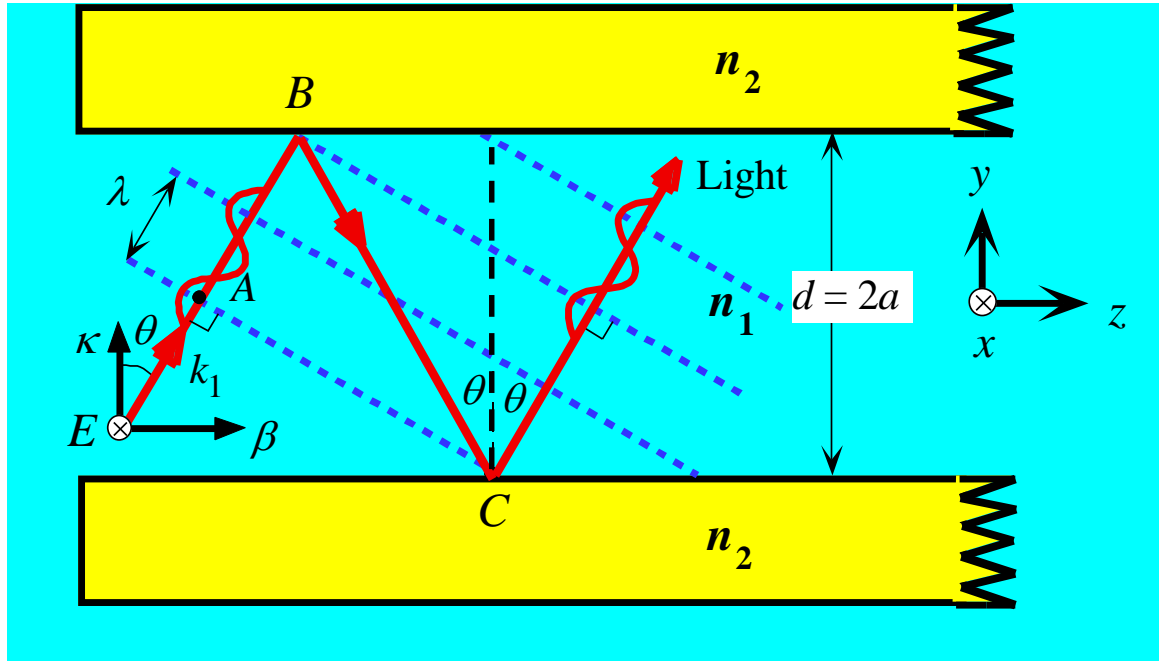


$m = 0, 1, 2$ 的三个模式的电场分布

m : 模数

m 越大, κ_m 越大

穿透深度随m的变化

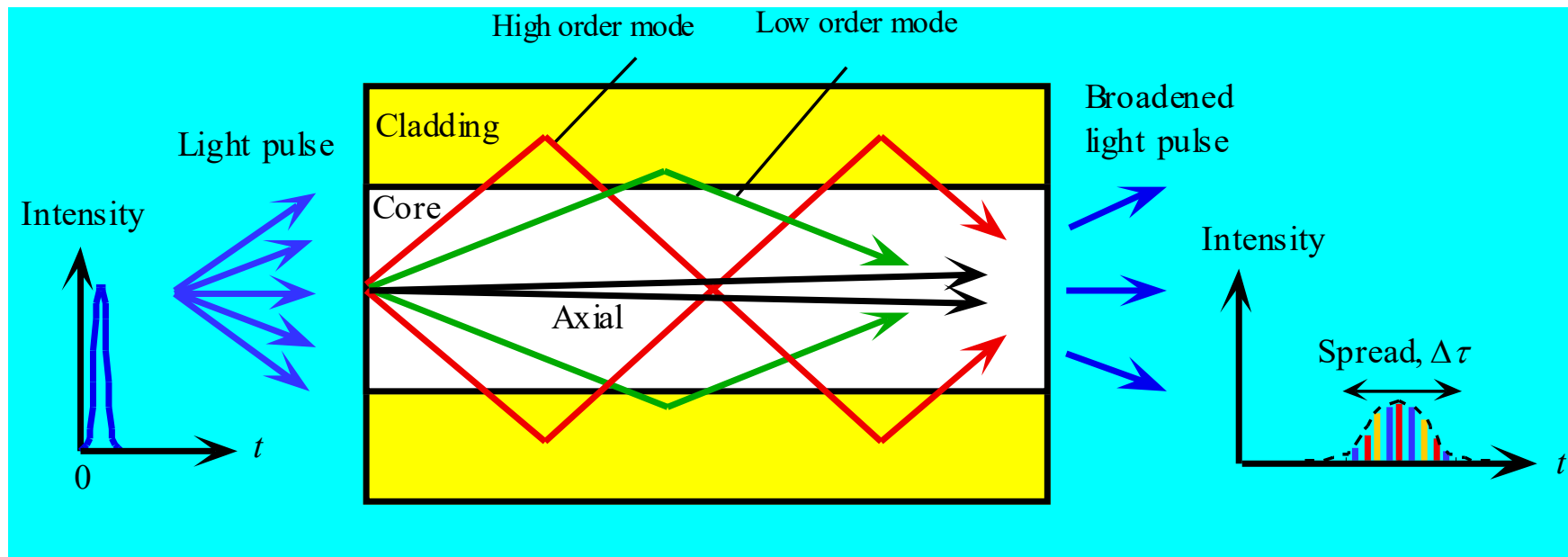


$$n_2 \text{ 中的横向波数: } k_{2y} = i \sqrt{\beta_m^2 - k_2^2} = i \sqrt{(n_1 \sin \theta_m)^2 - n_2^2} k_0$$

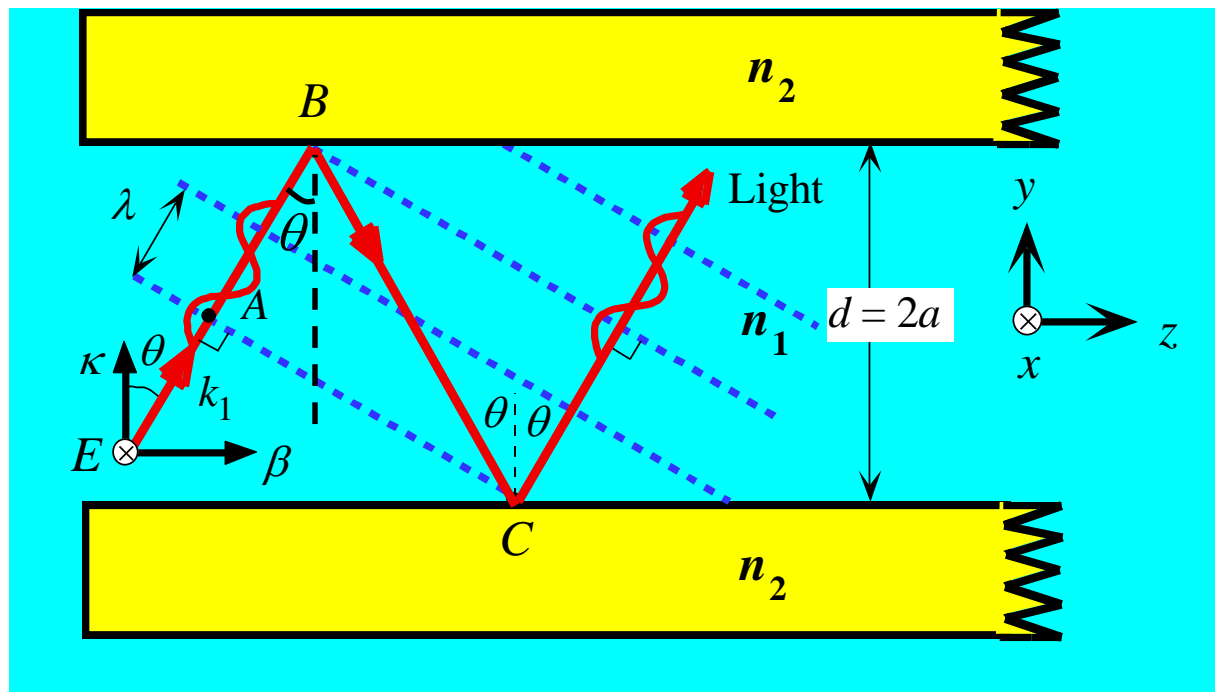
$$\text{穿透深度: } d = \frac{1}{|k_{2y}|}$$

m 越大, 入射角 θ_m 越小, $|k_{2y}|$ 越小, 包层穿透深度越大

光在平面波导中传播示意图



1. 波导色散；
2. 材料色散。



波导中的光线

临界角 θ_c : $\sin \theta_c = \frac{n_2}{n_1}$ $\sin \theta_m \geq \sin \theta_c$

m 的取值范围?

波导条件: $k_1 2a \cdot \cos\theta_m - \Phi_m = m\pi$

$$\cos\theta_m = \frac{m\pi + \Phi_m}{2k_1 a} \leq \cos\theta_c$$

$$\cos\theta_c = \sqrt{1 - \sin^2\theta_c} = \sqrt{1 - \frac{n_2^2}{n_1^2}} = \frac{1}{n_1} \sqrt{n_1^2 - n_2^2}$$

$$m \leq \frac{1}{\pi} \left(\frac{4\pi a}{\lambda} \sqrt{n_1^2 - n_2^2} - \Phi_m \right) = \frac{1}{\pi} (2V - \Phi)$$

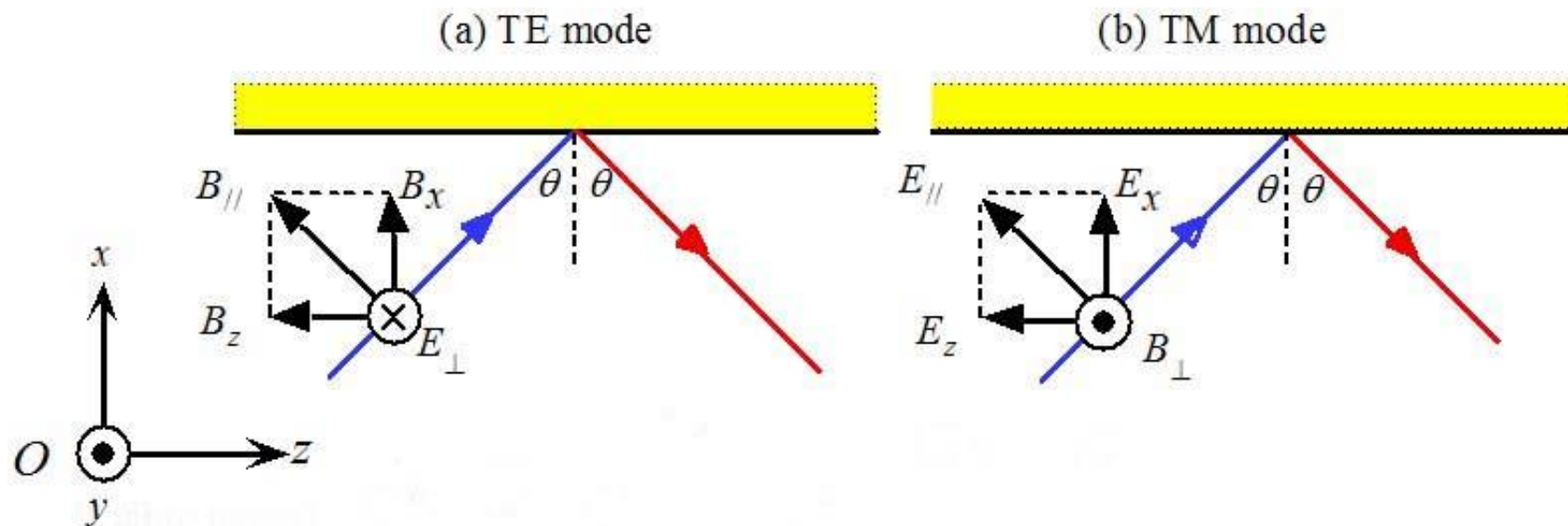
$$V = \frac{2\pi a}{\lambda} \sqrt{n_1^2 - n_2^2}$$

归一化频率或
波导参量

$$V < \frac{\pi}{2} \text{ 时, } m < 1, \text{即 } m = 0$$

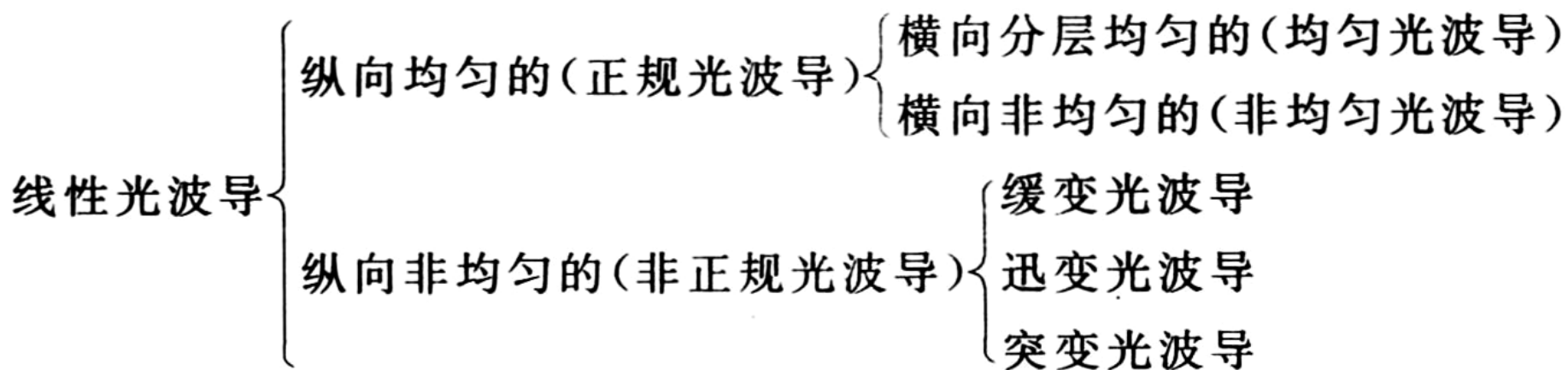
TE模: Transverse electric field mode

TM模: Transverse magnetic field mode

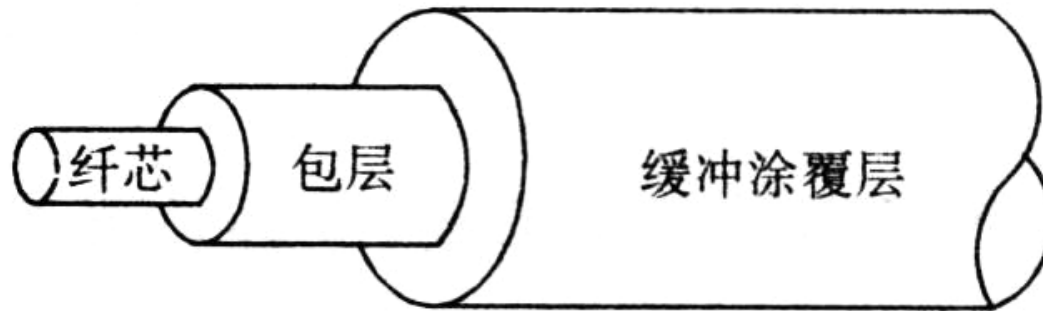


TE模和TM模示意图 (入射面为屏幕面)

光波导的分类:

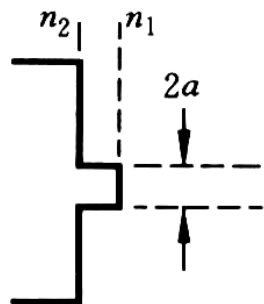


3.1.2 光纤

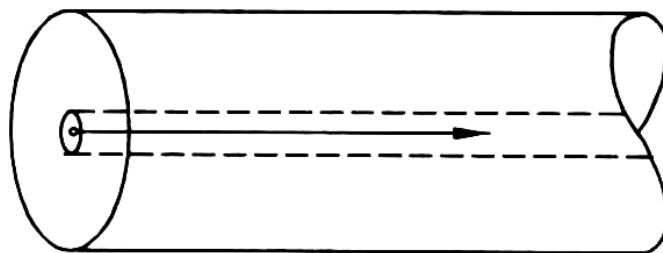


单根光纤结构简图

剖面折射率分布

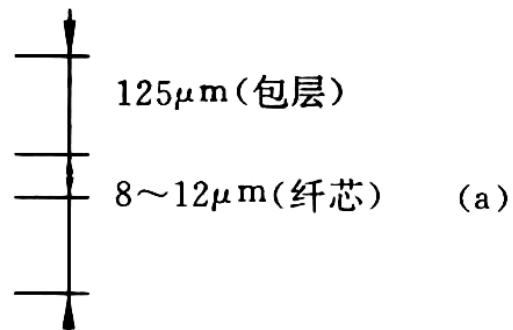


光纤横断面和光线的路径

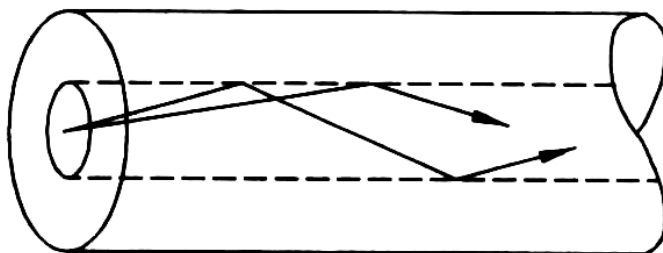
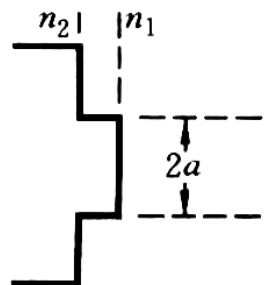


单模阶跃折射率光纤

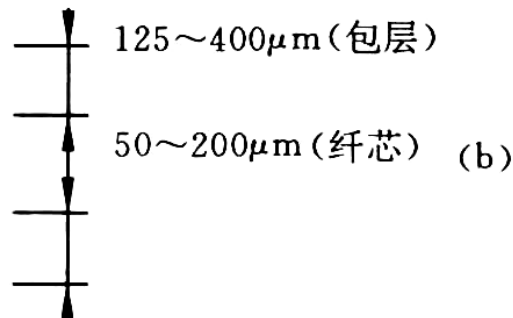
典型尺寸



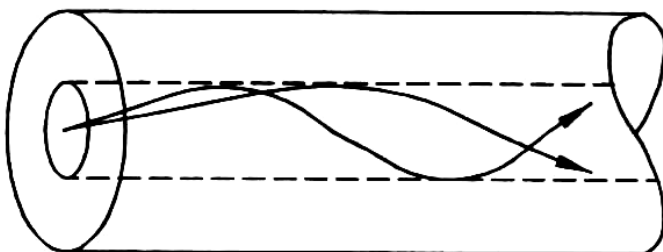
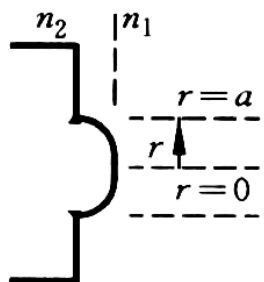
(a)



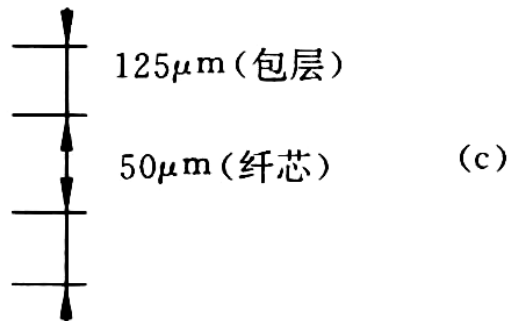
多模阶跃折射率光纤



(b)

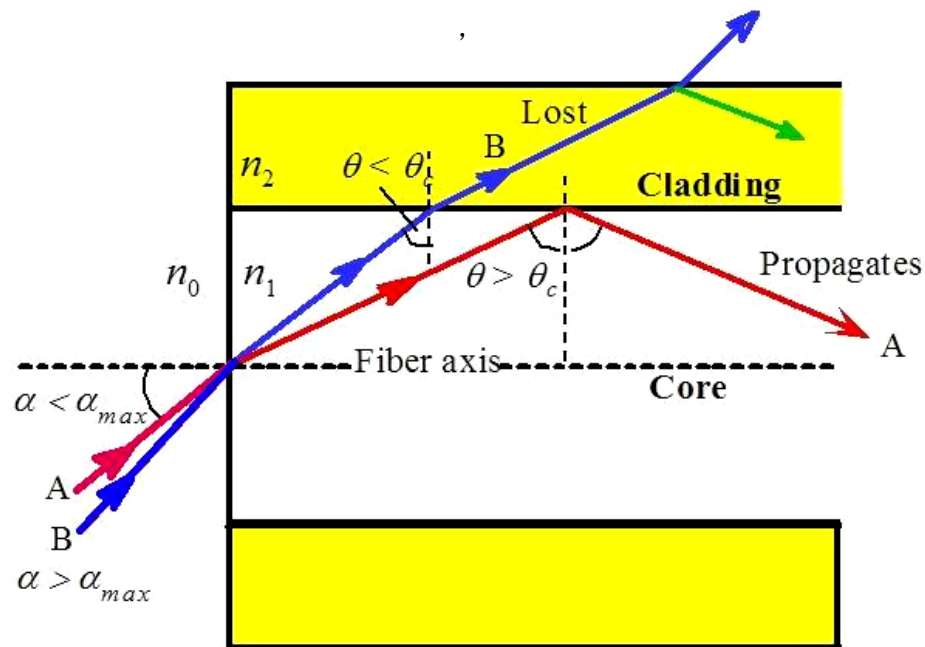


多模梯度折射率光纤



(c)

单模和多模光纤结构示意图

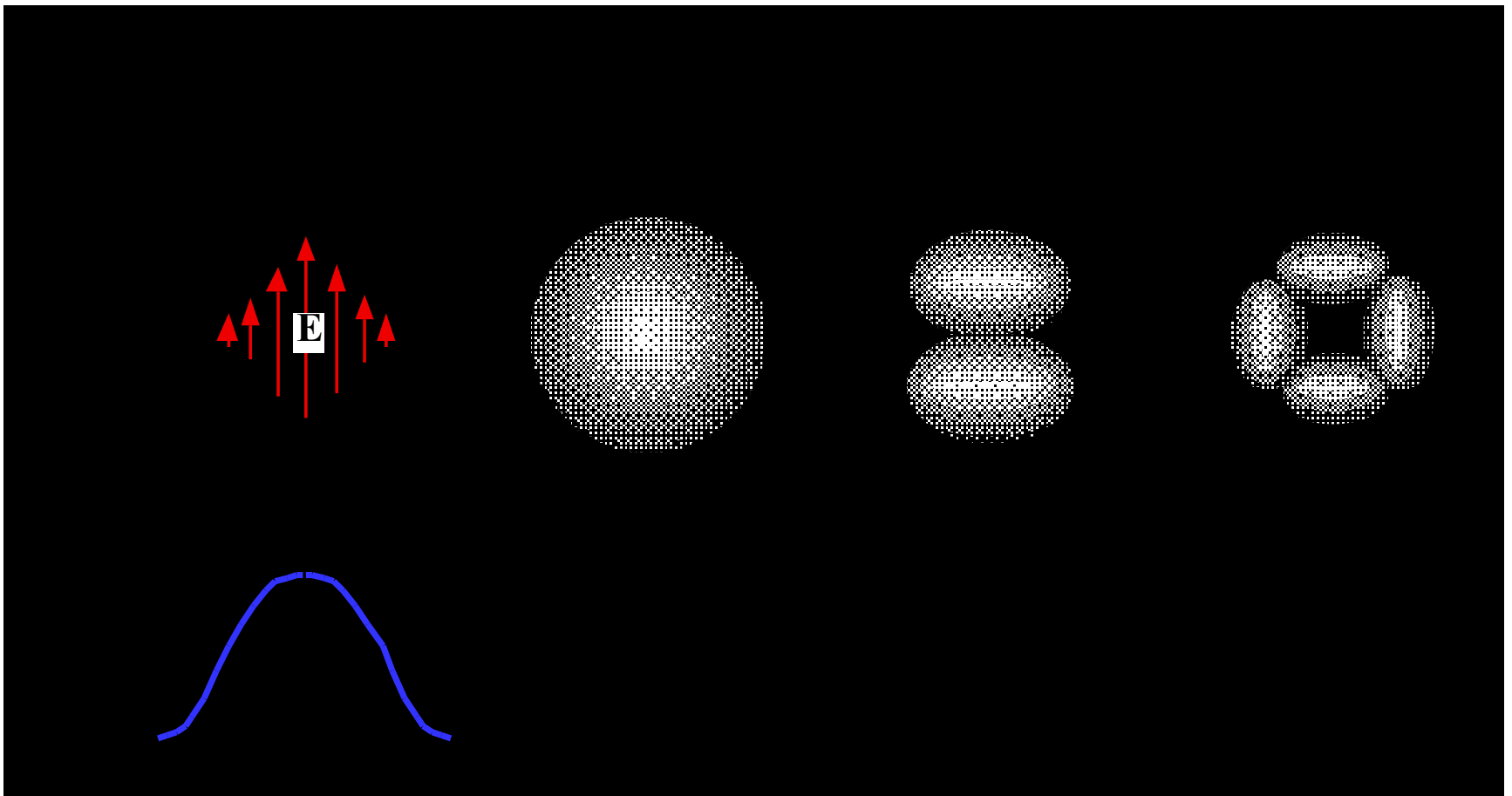


光纤数值孔径示意图

$$\sin \theta_c = \frac{n_2}{n_1} \quad \theta \geq \theta_c = \arcsin\left(\frac{n_2}{n_1}\right)$$

$$n_0 \sin \alpha_{\max} = n_1 \sin(90^\circ - \theta_c) = \sqrt{n_1^2 - n_2^2} \quad \alpha_{\max}: \text{孔径角}$$

$$NA = n_0 \sin \alpha_{\max} = \sqrt{n_1^2 - n_2^2} \quad \text{数值孔径}$$



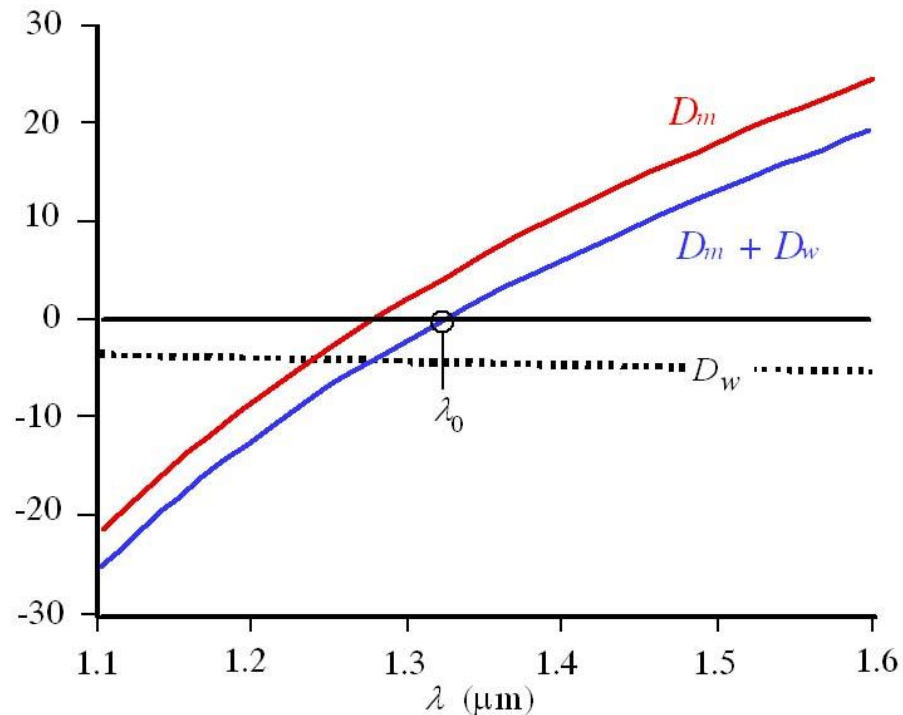
光纤中基模的电场分布和几个模式的光强分布

单模光纤中的色散

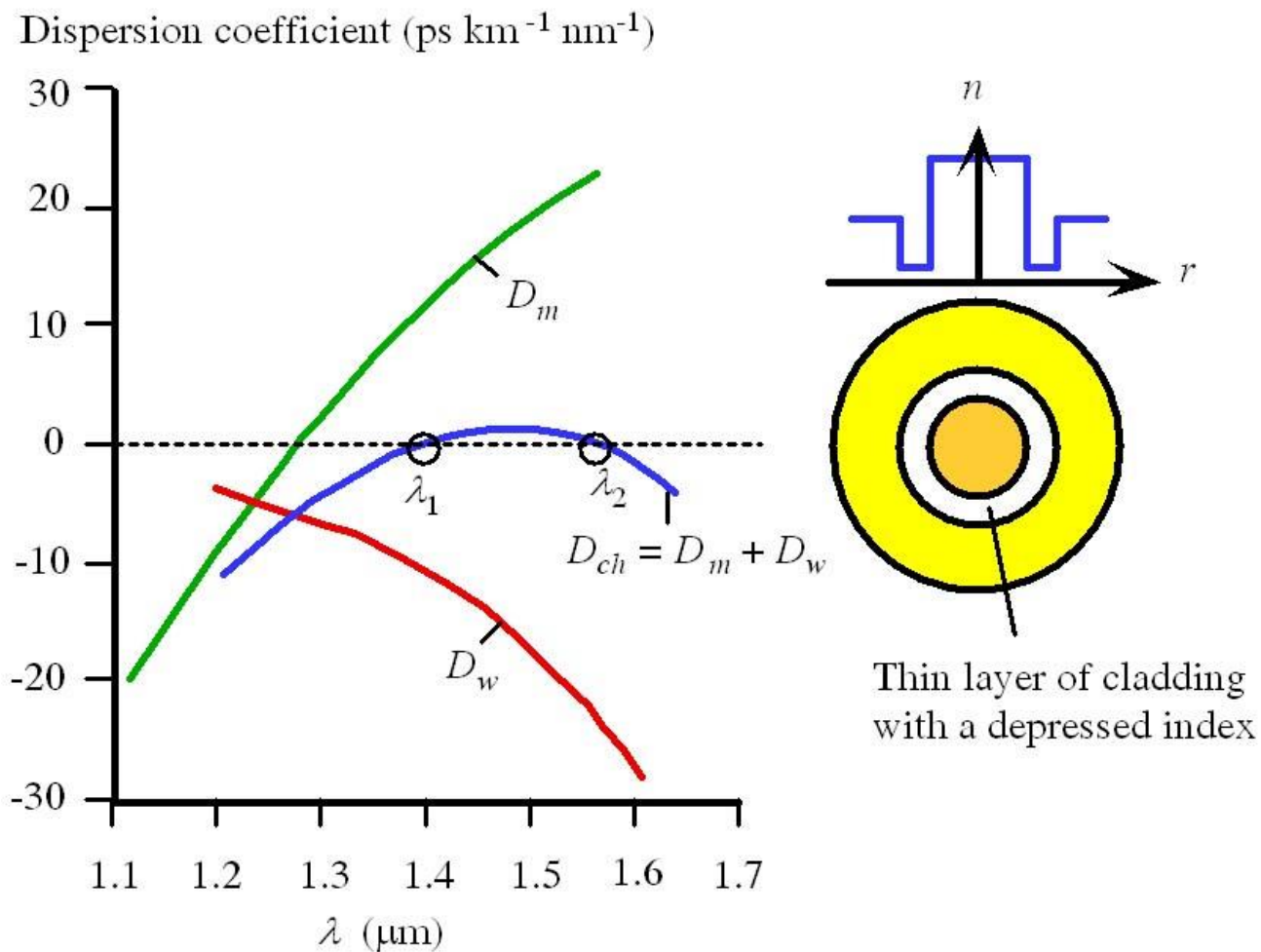
色散参数D：每公里的光纤由于单位谱宽所引起的脉冲展宽值
单位：ps/km·nm

$$\Delta T = DL\Delta\lambda$$

Dispersion coefficient (ps km⁻¹ nm⁻¹)



D_m ：材料色散； D_w ：波导色散



色散平坦光纤的色散

3.2 光波导的一般理论和波导模式

3.2.1 亥姆霍兹方程

3.2.2 光波导中的模式的概念

3.2.3 模式的分类

3. 2. 1 亥姆霍兹方程

$$\nabla \times \mathbf{E} = -\frac{\partial \mathbf{B}}{\partial t} \qquad \nabla \times \mathbf{H} = \frac{\partial \mathbf{D}}{\partial t} + \mathbf{J}$$

$$\nabla \cdot \mathbf{D} = 0 \qquad \nabla \cdot \mathbf{B} = 0$$

考虑单色场 $\begin{pmatrix} \mathbf{E} \\ \mathbf{H} \end{pmatrix}(x, y, z, t) = \begin{pmatrix} \mathbf{E} \\ \mathbf{H} \end{pmatrix}(x, y, z)e^{-i\omega t} + c.c.$

条件:

$$\mathbf{J} = 0, \quad \rho = 0$$

$$\nabla \times \mathbf{E} = i\omega\mu_0\mathbf{H}$$

$$\nabla \times \mathbf{H} = -i\omega\epsilon\mathbf{E}$$

$$\nabla \cdot \mathbf{D} = 0$$

$$\nabla \cdot \mathbf{H} = 0$$

$$\mathbf{D} = \epsilon\mathbf{E} \quad \longrightarrow \quad \nabla \cdot (\epsilon\mathbf{E}) = \nabla\epsilon \cdot \mathbf{E} + \epsilon\nabla \cdot \mathbf{E} = 0$$

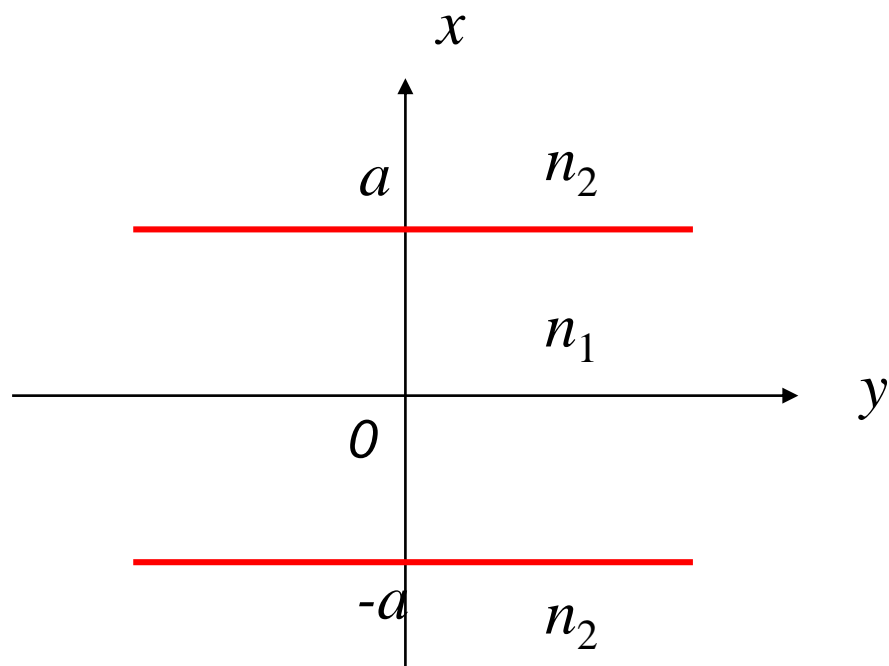
$$\nabla \cdot \mathbf{E} = \frac{-\nabla\epsilon}{\epsilon} \cdot \mathbf{E}$$

$$\nabla^2\mathbf{E} + k^2n^2\mathbf{E} + \nabla\left(\mathbf{E} \cdot \frac{\nabla\epsilon}{\epsilon}\right) = 0$$

亥姆霍兹方程

$$\nabla^2\mathbf{H} + k^2n^2\mathbf{H} + \frac{\nabla\epsilon}{\epsilon} \times (\nabla \times \mathbf{H}) = 0$$

$$\nabla\epsilon = 0 \text{ or } \nabla\epsilon/\epsilon \rightarrow 0 \quad \longrightarrow \quad (\nabla^2 + k^2n^2)\begin{pmatrix} \mathbf{E} \\ \mathbf{H} \end{pmatrix} = 0$$



平面光波导

3.2.2 光波导中模式的概念

正规光波导中： $\varepsilon(x, y, z) = \varepsilon(x, y)$

在正规光波导中，光场可表示为如下形式：

$$\begin{pmatrix} \mathbf{E} \\ \mathbf{H} \end{pmatrix}(x, y, z, t) = \begin{pmatrix} \mathbf{e} \\ \mathbf{h} \end{pmatrix}(x, y) e^{i(\beta z - \omega t)}$$

空间的分布：

$$\begin{pmatrix} \mathbf{E} \\ \mathbf{H} \end{pmatrix}(x, y, z) = \begin{pmatrix} \mathbf{e} \\ \mathbf{h} \end{pmatrix}(x, y) e^{i\beta z}$$

模式的含义：

1. **数学含义**。模式是满足亥姆霍兹方程的一个特解，并满足在波导中心有界、在边界趋于无穷时为零等边界条件。光波导中总的光场分布则是这些模式的线性组合：

$$\begin{pmatrix} \mathbf{E} \\ \mathbf{H} \end{pmatrix} = \sum_i \begin{pmatrix} a_i \mathbf{e}_i \\ b_i \mathbf{h}_i \end{pmatrix} (x, y) e^{i\beta_i z}$$

式中 a_i, b_i 是分解系数，表示该模式的相对大小。一系列模式可以看成是一个光波导的场分布的空间谱。

2. **稳定性**。一个模式沿纵向传输时，其场分布形式不变，即沿 z 方向有稳定的分布。
3. **有序性**。模式是波动方程的一系列特征解，是离散的、可以排序的。
4. **叠加性**。光波导中总的场分布是这些模式的线性叠加。

5. 正交性。一个正规光波导的不同模式之间满足正交关系。
设 (\mathbf{E}, \mathbf{H}) 是第*i*次模, $(\mathbf{E}', \mathbf{H}')$ 为第*k*次模, 即

$$\begin{pmatrix} \mathbf{E} \\ \mathbf{H} \end{pmatrix} = \begin{pmatrix} \mathbf{e}_i \\ \mathbf{h}_i \end{pmatrix} (x, y) e^{i\beta_i z} \quad \begin{pmatrix} \mathbf{E}' \\ \mathbf{H}' \end{pmatrix} = \begin{pmatrix} \mathbf{e}_k \\ \mathbf{h}_k \end{pmatrix} (x, y) e^{i\beta_k z}$$

则可以证明下式成立

$$\int_{A \rightarrow \infty} (\mathbf{e}_i \times \mathbf{h}_k^*) \cdot d\mathbf{A} = \int_{A \rightarrow \infty} (\mathbf{e}_k^* \times \mathbf{h}_i) \cdot d\mathbf{A} = 0 \quad (i \neq k)$$

式中A为考虑的横截面

3.2.3 模式的分类

根据纵向分量的情况，通常把模式分为三类：

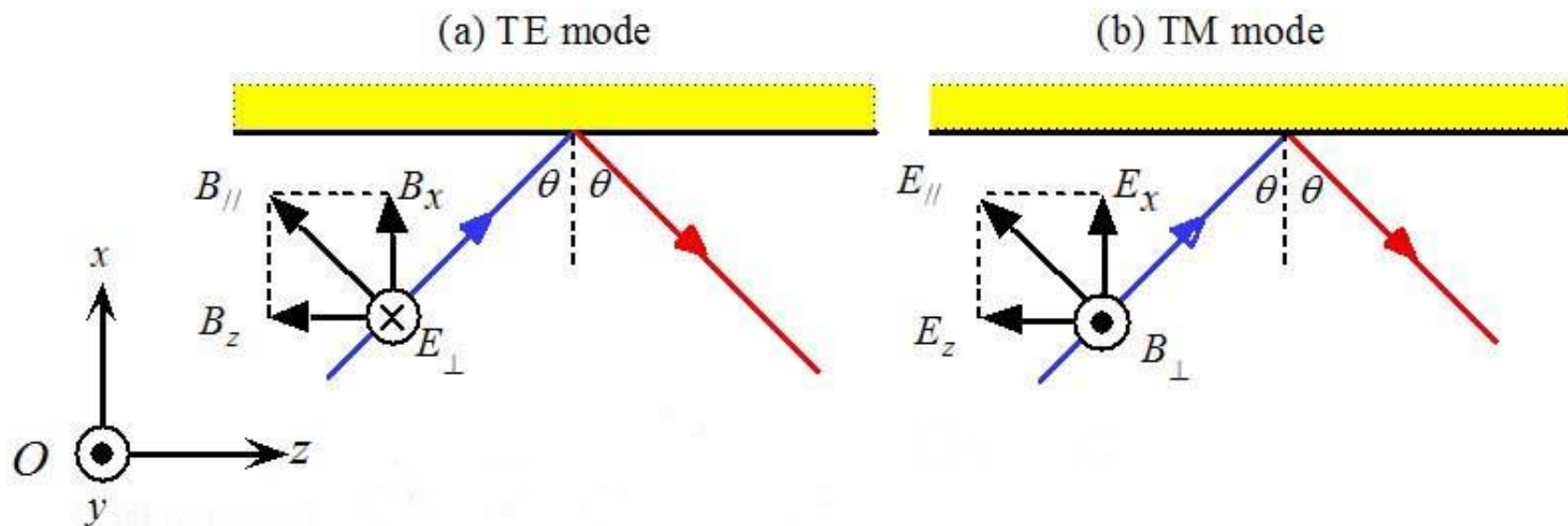
1. **TEM模**：模式只有横向分量，而无纵向分量，即 $e_z = 0$ 且 $h_z = 0$ 。

可以证明，在光波导中不可能存在TEM模

2. **TE模或TM模**：模式只有一个纵向分量。对于TE模有 $e_z = 0$ 但 $h_z \neq 0$ ；对于TM模有 $h_z = 0$ 但 $e_z \neq 0$ 。
3. **HE模或EH模**：模式的两个纵向分量均不为零，即 $e_z \neq 0$ 且 $h_z \neq 0$ 。

TE模: Transverse electric field mode

TM模: Transverse magnetic field mode



TE模和TM模示意图 (入射面为屏幕面)

3.3 平面光波导

3.3.1 基本概念

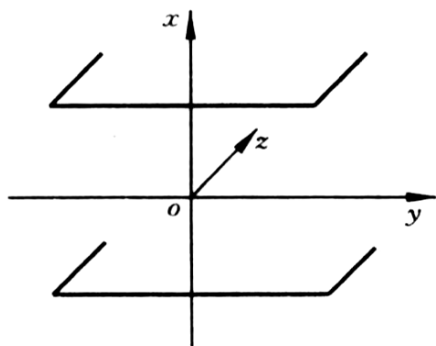
3.3.2 模式场

3.3.3 特征方程

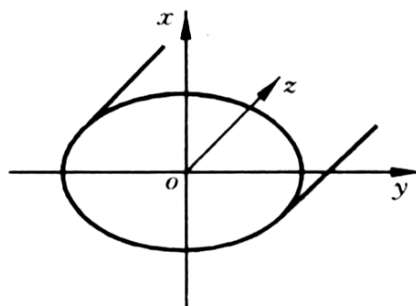
3.3.4 截止条件、单模传输及远离截止频率的情况

3.3 平面光波导

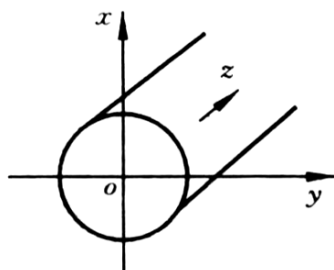
3.3.1 基本概念



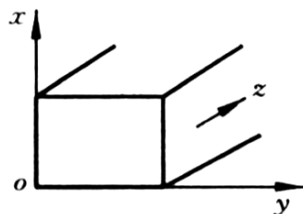
(a)



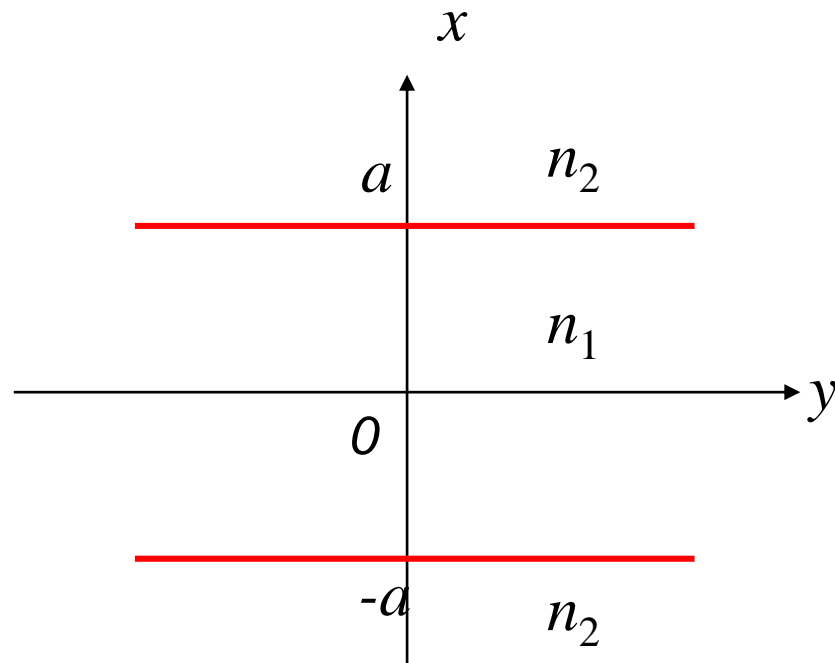
(b)



(c)



(d)



均匀光波导：沿横
截面分布区域均匀

平面光波导

3.3.2 模式场

$$\begin{pmatrix} \mathbf{E} \\ \mathbf{H} \end{pmatrix} = \begin{pmatrix} \mathbf{e} \\ \mathbf{h} \end{pmatrix} (x) e^{i(\beta_z z + \beta_y y)}$$

$$\begin{pmatrix} \mathbf{E} \\ \mathbf{H} \end{pmatrix} = \begin{pmatrix} \mathbf{e} \\ \mathbf{h} \end{pmatrix} (x) e^{i\beta_z z} \quad (\nabla^2 + k^2 n^2) \begin{pmatrix} \mathbf{E} \\ \mathbf{H} \end{pmatrix} = 0$$

$$\frac{d^2 \mathbf{e}}{dx^2} + (k^2 n^2 - \beta^2) \mathbf{e} = 0$$

$$\frac{d^2 \mathbf{h}}{dx^2} + (k^2 n^2 - \beta^2) \mathbf{h} = 0$$

模式场可以分解为纵向分量与横向分量之和：

$$\begin{cases} \mathbf{e} = \mathbf{e}_t + \mathbf{e}_z \\ \mathbf{h} = \mathbf{h}_t + \mathbf{h}_z \end{cases}$$

$$\mathbf{E} = [\mathbf{e}_t(x) + \mathbf{e}_z(x)]e^{i\beta_z z} \quad \mathbf{H} = [\mathbf{h}_t(x) + \mathbf{h}_z(x)]e^{i\beta_z z}$$

$$\nabla = \nabla_t + \hat{z} \frac{\partial}{\partial z} \quad \nabla_t = \hat{x} \frac{\partial}{\partial x} + \hat{y} \frac{\partial}{\partial y} \quad (\text{x,y平面内矢量})$$

$$\nabla \times \mathbf{E} = i\omega\mu_0 \mathbf{H}$$

$$\left(\nabla_t + \hat{z} \frac{\partial}{\partial z} \right) \times [\mathbf{e}_t(x) + \mathbf{e}_z(x)]e^{i\beta_z z} = i\omega\mu_0 [\mathbf{h}_t(x) + \mathbf{h}_z(x)]e^{i\beta_z z}$$

$$\nabla_t \times \mathbf{e}_t(x) \rightarrow z \text{分量} \quad \nabla_t \times \mathbf{e}_z(x) \rightarrow t \text{分量} \quad \hat{z} \times \mathbf{e}_t(x) \rightarrow t \text{分量}$$

$$\text{方程两边} z \text{分量:} \quad \nabla_t \times \mathbf{e}_t(x)e^{i\beta_z z} = i\omega\mu_0 \mathbf{h}_z(x)e^{i\beta_z z}$$

$$\hat{x} \times \frac{d\mathbf{e}_t}{dx} = i\omega\mu_0 \mathbf{h}_z$$

纵向分量和横向分量的关系：

$$\left\{ \begin{array}{l} \mathbf{x} \times \frac{d\mathbf{e}_t}{dx} = i\omega\mu_0\mathbf{h}_z \\ \mathbf{x} \times \frac{d\mathbf{h}_t}{dx} = -i\omega\varepsilon\mathbf{e}_z \\ \mathbf{x} \times \frac{d\mathbf{e}_z}{dx} + i\beta\hat{\mathbf{z}} \times \mathbf{e}_t = i\omega\mu_0\mathbf{h}_t \\ \mathbf{x} \times \frac{d\mathbf{h}_z}{dx} + i\beta\hat{\mathbf{z}} \times \mathbf{h}_t = -i\omega\varepsilon\mathbf{e}_t \end{array} \right.$$

我们的任务：

1. 分析可能存在哪些模式和具体的模式分布形式；
2. 求出该模式的传输常数的表达式。

通常的解法：

1. 将波动方程中的纵向分量和横向分量分解，
2. 化为标量常微分方程，
3. 代入边界条件，即可求出模式场。

纵向分量和横向分量的关系：

$$\left\{ \begin{array}{l} \mathbf{x} \times \frac{d\mathbf{e}_t}{dx} = i\omega\mu_0\mathbf{h}_z \end{array} \right. \quad (a)$$

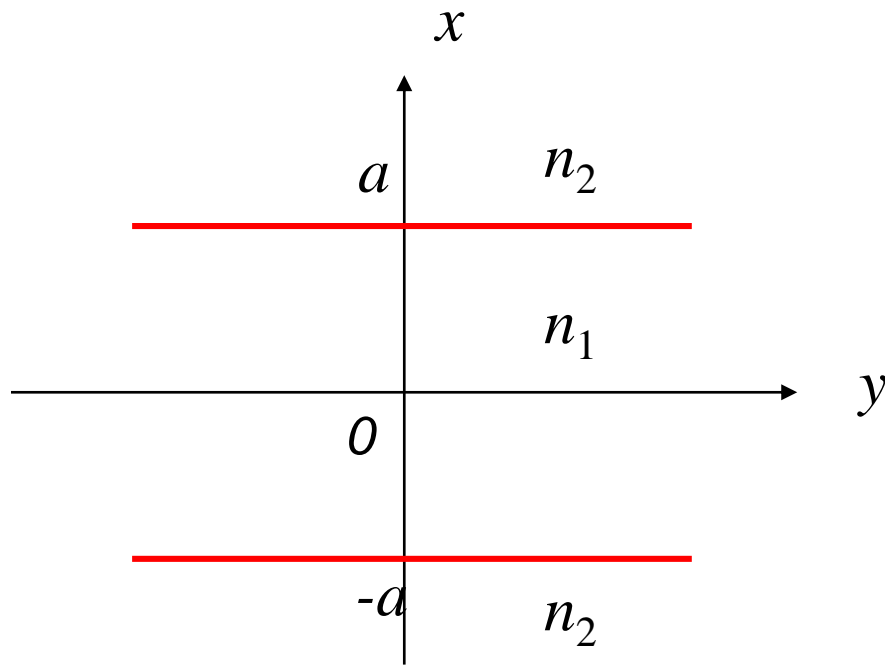
$$\left\{ \begin{array}{l} \mathbf{x} \times \frac{d\mathbf{h}_t}{dx} = -i\omega\varepsilon\mathbf{e}_z \end{array} \right. \quad (b)$$

$$\left\{ \begin{array}{l} \mathbf{x} \times \frac{d\mathbf{e}_z}{dx} + i\beta\hat{\mathbf{z}} \times \mathbf{e}_t = i\omega\mu_0\mathbf{h}_t \end{array} \right. \quad (c)$$

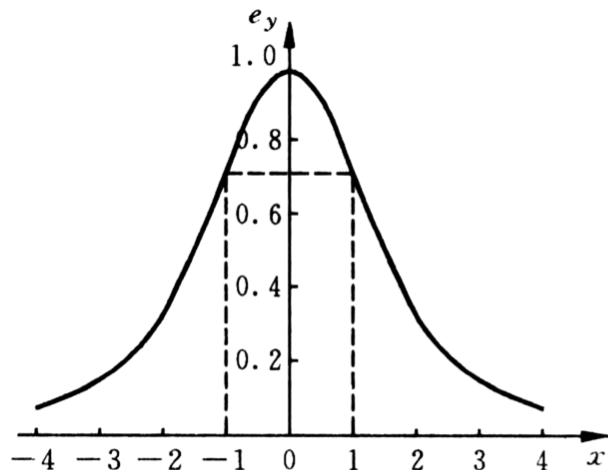
$$\left\{ \begin{array}{l} \mathbf{x} \times \frac{d\mathbf{h}_z}{dx} + i\beta\hat{\mathbf{z}} \times \mathbf{h}_t = -i\omega\varepsilon\mathbf{e}_t \end{array} \right. \quad (d)$$

e_y 满足标量方程：
$$\frac{d^2 e_y}{dx^2} + (k^2 n^2 - \beta^2) e_y = 0$$

其解取正弦、余弦或指数函数形式



包层 $x \rightarrow \infty$ 时 $e_y \rightarrow 0$



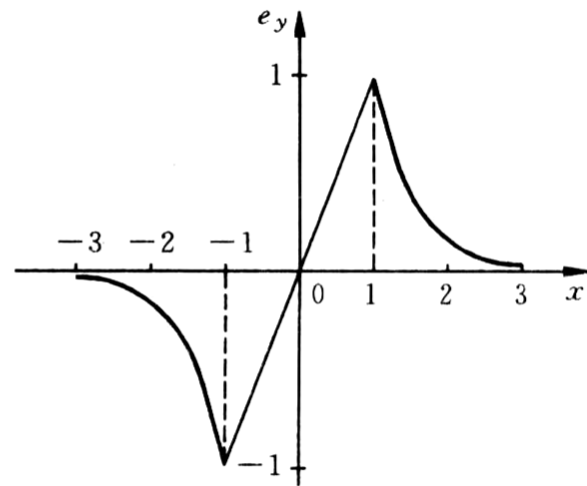
(a)

偶模

芯层：（余弦形式）

包层：只能取 e^{-x} 形式

设TE偶模芯层： $e_y = b_1 \cos c_1 x$



(b)

奇模

（正弦形式）

$$\frac{d^2 e_y}{dx^2} + (k^2 n^2 - \beta^2) e_y = 0$$

TE偶模的表达式:

$$e_y = \begin{cases} b_1 \cos\left(\sqrt{k^2 n_1^2 - \beta^2} x\right) & |x| < a \\ b_2 \exp\left(-\sqrt{\beta^2 - k^2 n_2^2} x\right) & |x| > a \end{cases}$$

$$h_z = \begin{cases} \frac{b_1 \sqrt{k^2 n_1^2 - \beta^2}}{\omega \mu_0} \sin\left(\sqrt{k^2 n_1^2 - \beta^2} x\right) & |x| < a \\ \frac{b_2 \sqrt{\beta^2 - k^2 n_2^2}}{\omega \mu_0} \exp\left(-\sqrt{\beta^2 - k^2 n_2^2} x\right) & |x| > a \end{cases}$$

定义:	$U = \sqrt{k^2 n_1^2 - \beta^2} a$	$W = \sqrt{\beta^2 - k^2 n_2^2} a$
	$\rho = x/a$	

模式场

(a) $e_x = e_z = h_y = 0$

	TE 偶模		TE 奇模	
	芯层	包层	芯层	包层
e_y	$\frac{\cos(U\rho)}{\cos U}$	$\frac{\exp(-W \rho)}{\exp(-W)}$	$\frac{\sin(U\rho)}{\sin U}$	$\frac{\rho}{ \rho } \frac{\exp(-W \rho)}{\exp(-W)}$
h_x	$-\frac{\beta}{k} \sqrt{\frac{\epsilon_0}{\mu_0}} \frac{\cos(U\rho)}{\cos U}$	$-\frac{\beta}{k} \sqrt{\frac{\epsilon_0}{\mu_0}} \frac{\exp(-W \rho)}{\exp(-W)}$	$-\frac{\beta}{k} \sqrt{\frac{\epsilon_0}{\mu_0}} \frac{\sin(U\rho)}{\sin U}$	$-\frac{\beta}{k} \sqrt{\frac{\epsilon_0}{\mu_0}} \frac{\rho}{ \rho } \frac{\exp(-W \rho)}{\exp(-W)}$
h_z	$\frac{iW}{ka} \sqrt{\frac{\epsilon_0}{\mu_0}} \frac{\sin(U\rho)}{\sin U}$	$\frac{iW}{ka} \sqrt{\frac{\epsilon_0}{\mu_0}} \frac{\rho}{ \rho } \frac{\exp(-W \rho)}{\exp(-W)}$	$\frac{iW}{ka} \sqrt{\frac{\epsilon_0}{\mu_0}} \frac{\cos(U\rho)}{\cos U}$	$\frac{iW}{ka} \sqrt{\frac{\epsilon_0}{\mu_0}} \frac{\exp(-W \rho)}{\exp(-W)}$

(b) $h_x = h_z = e_y = 0$

	TM 偶模		TM 奇模	
	芯层	包层	芯层	包层
e_x	$\frac{\cos(U\rho)}{\cos U}$	$\frac{n_1^2 \exp(-W \rho)}{n_2^2 \exp(-W)}$	$\frac{\sin(U\rho)}{\sin U}$	$\frac{n_1^2}{n_2^2} \frac{\rho}{ \rho } \frac{\exp(-W \rho)}{\exp(-W)}$
h_y	$\frac{kn_1^2}{\beta} \sqrt{\frac{\epsilon_0}{\mu_0}} \frac{\cos(U\rho)}{\cos U}$	$\frac{kn_1^2}{\beta} \sqrt{\frac{\epsilon_0}{\mu_0}} \frac{\exp(-W \rho)}{\exp(-W)}$	$\frac{kn_1^2}{\beta} \sqrt{\frac{\epsilon_0}{\mu_0}} \frac{\sin(U\rho)}{\sin U}$	$\frac{kn_1^2}{\beta} \sqrt{\frac{\epsilon_0}{\mu_0}} \frac{\rho}{ \rho } \frac{\exp(-W \rho)}{\exp(-W)}$
e_z	$-\frac{iW n_1^2 \sin(U\rho)}{a\beta n_2^2 \sin U}$	$-\frac{iW n_1^2}{a\beta n_2^2} \frac{\rho}{ \rho } \frac{\exp(-W \rho)}{\exp(-W)}$	$-\frac{iW n_1^2 \cos(U\rho)}{a\beta n_2^2 \cos U}$	$-\frac{iW n_1^2 \exp(-W \rho)}{a\beta n_2^2 \exp(-W)}$

平面光波导中不存在HE，EH模的证明：

$$\left\{ \begin{array}{l} \frac{de_y}{dx} = i\omega\mu_0 h_z \\ \frac{dh_y}{dx} = -i\omega\epsilon e_z \\ -\frac{de_z}{dx} + i\beta e_x = i\omega\mu_0 h_y \\ i\beta e_y = -i\omega\mu_0 h_x \\ -\frac{dh_z}{dx} + i\beta h_x = -i\omega\epsilon e_y \\ i\beta h_y = -i\omega\epsilon e_x \end{array} \right.$$

Diagram illustrating the coupling between field components h_z, e_y, h_x and e_z, h_y, e_x through the wave equations. Red arrows indicate the relationships:

- h_z and e_y are coupled to $\frac{de_y}{dx}$ and $\frac{dh_y}{dx}$.
- e_z and h_y are coupled to $\frac{dh_y}{dx}$ and $-\frac{de_z}{dx} + i\beta e_x$.
- h_x and e_x are coupled to $i\beta e_y$ and $i\beta h_y$.
- e_y and h_x are coupled to $-\frac{dh_z}{dx} + i\beta h_x$.

3.3.3 特征方程

$$U = \sqrt{k^2 n_1^2 - \beta^2} a \qquad W = \sqrt{\beta^2 - k^2 n_2^2} a$$

β 的大小由边界条件所确定的方程来决定，这个方程称为特征方程。

TE偶模:

$$e_y = \begin{cases} b_1 \cos\left(\sqrt{k^2 n_1^2 - \beta^2} x\right) & |x| < a \\ b_2 \exp\left(-\sqrt{\beta^2 - k^2 n_2^2} x\right) & |x| > a \end{cases}$$

$x \rightarrow a$

$$e_y = b_1 \cos\left(\sqrt{k^2 n_1^2 - \beta^2} a\right)$$

$$e_y = b_2 \exp\left(-\sqrt{\beta^2 - k^2 n_2^2} a\right)$$

e_y 连续:

$$b_1 \cos\left(\sqrt{k^2 n_1^2 - \beta^2} a\right) = b_2 \exp\left(-\sqrt{\beta^2 - k^2 n_2^2} a\right)$$

h_z 连续:

$$b_1 \sqrt{k^2 n_1^2 - \beta^2} \sin\left(\sqrt{k^2 n_1^2 - \beta^2} a\right) = b_2 \sqrt{\beta^2 - k^2 n_2^2} \exp\left(-\sqrt{\beta^2 - k^2 n_2^2} a\right)$$

$$\sqrt{k^2 n_1^2 - \beta^2} \tan\left(\sqrt{k^2 n_1^2 - \beta^2} a\right) = \sqrt{\beta^2 - k^2 n_2^2}$$

两端乘a: $\sqrt{k^2 n_1^2 - \beta^2} a \tan\left(\sqrt{k^2 n_1^2 - \beta^2} a\right) = \sqrt{\beta^2 - k^2 n_2^2} a$

定义: $U^2 = (k^2 n_1^2 - \beta^2) a^2$

$$W^2 = (\beta^2 - k^2 n_2^2) a^2$$

TE模的特征方程: $U \tan U = W$

$$V^2 = U^2 + W^2 = k^2 (n_1^2 - n_2^2) a^2$$

V的物理意义：

$$V^2 = k^2 (n_1^2 - n_2^2) a^2 \quad V \text{ 正比于真空中的波数}$$

V是一个表征频率的量，称为归一化频率，或称为该光波导的波导参量。

U, W的物理意义:

$$\frac{d^2 e_y}{dx^2} + (k^2 n^2 - \beta^2) e_y = 0 \xrightarrow[\rho = x/a]{} \begin{cases} \frac{d^2 e_y}{d\rho^2} + U^2 e_y = 0 & |\rho| < 1 \\ \frac{d^2 e_y}{d\rho^2} - W^2 e_y = 0 & |\rho| > 1 \end{cases}$$

$$e_y = \begin{cases} b_1 \cos(U \rho) & |\rho| < 1 \\ b_2 \exp(-W |\rho|) & |\rho| > 1 \end{cases}$$

U, W是芯层和包层归一化的横向参数, 故分别称为这个模式在芯层和包层的**模式参量**。

1/W为包层的归一化透入深度

平面光波导特征方程

模 式	TE 模		TM 模	
	偶 模	奇 模	偶 模	奇 模
特征方程	$W = U \tan U$	$W = -U \cot U$	$n_1^2 W = n_2^2 U \tan U$	$n_1^2 W = -n_2^2 U \cot U$

3.3.4 截止条件和单模传输

截止：当 $W \rightarrow 0$ 时，意味着模式的场不断地向包层扩展，最后能量分散于广大的空间，不能传输。

截止条件：使得 $W \rightarrow 0$ 的 V 值。

$$V = ka\sqrt{n_1^2 - n_2^2}$$

V 值小于等于某个模式截止条件时，该模式截止。

对TE偶模 $U \tan U = W$

↓

$$V \tan V = 0$$

$$V = m\pi \quad (m = 0, 1, 2, \dots)$$

对TE奇模 $V \cot V = 0$

$$V = \left(m + \frac{1}{2}\right)\pi \quad (m = 0, 1, 2, \dots)$$

截止条件 $V = \frac{k}{2}\pi \quad (k = 0, 1, 2, \dots)$

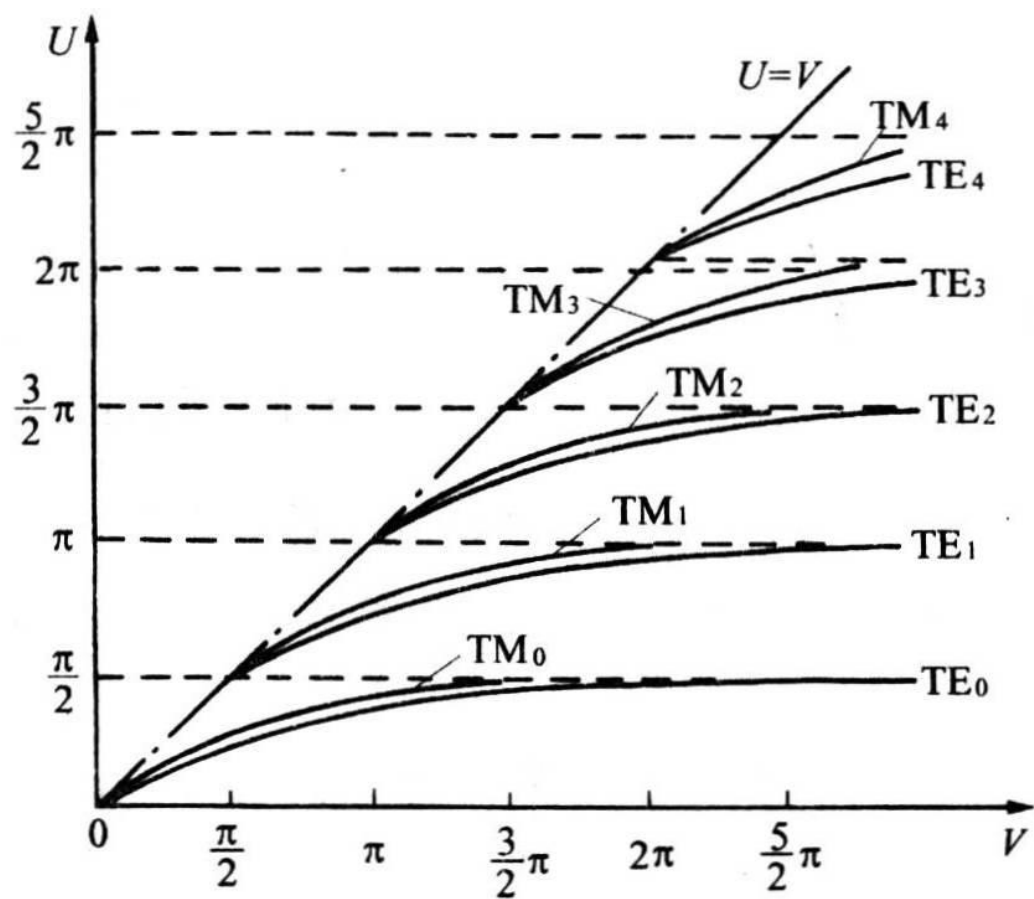
k作为序号，偶模：k为偶数；奇模：k为奇数。

$k = 0$: 基模, 截止频率 $V = 0$, 只要 $V > 0$, 基模就不会截止

$$V = ka\sqrt{n_1^2 - n_2^2}$$

在 $0 < V < \pi/2$ 时, 只有基模在光波导中传输, 这时称为光波导处于单模传输状态。

可以有TE基模和TM基模。



平面光波导 $U = f(V)$ 图

3. 4 波导模的耦合方法

3. 4. 1 端面耦合法

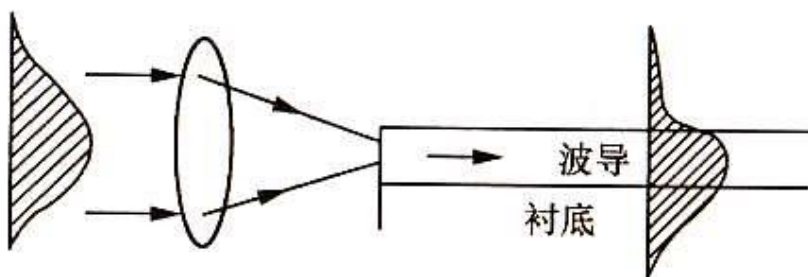
3. 4. 2 棱镜耦合法

3. 4. 3 光栅耦合法

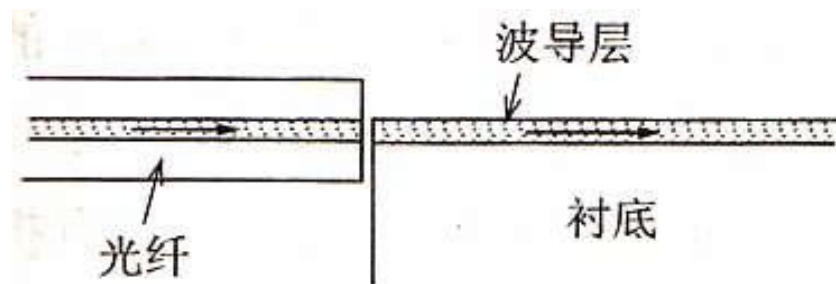
3. 4. 4 其它方法

3.4.1 端面耦合法 (end coupling method)

在与波导光行进方向垂直的波导端面上，入射场分布接近波导模场分布的光波，又称为end-fire或head-on。



远场光



波导间耦合

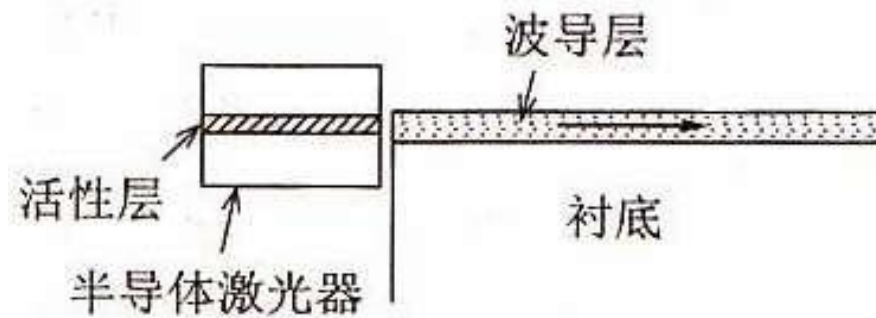
耦合效率影响因素：1. 端面质量，2. 模式匹配。



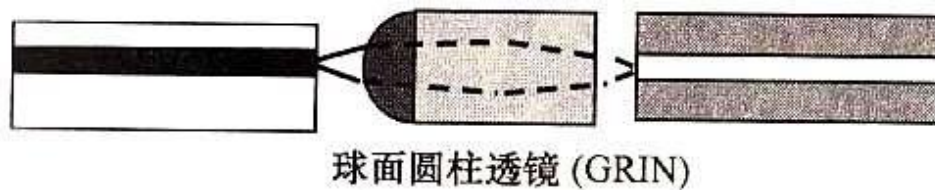
光纤连接器



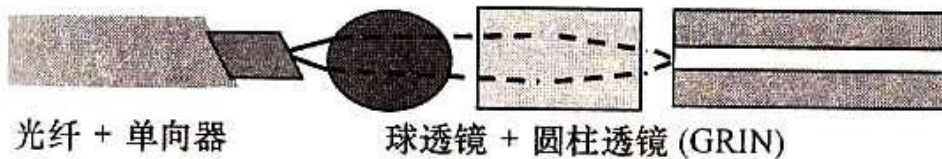
光纤接续子



半导体激光器与光波导直接耦合

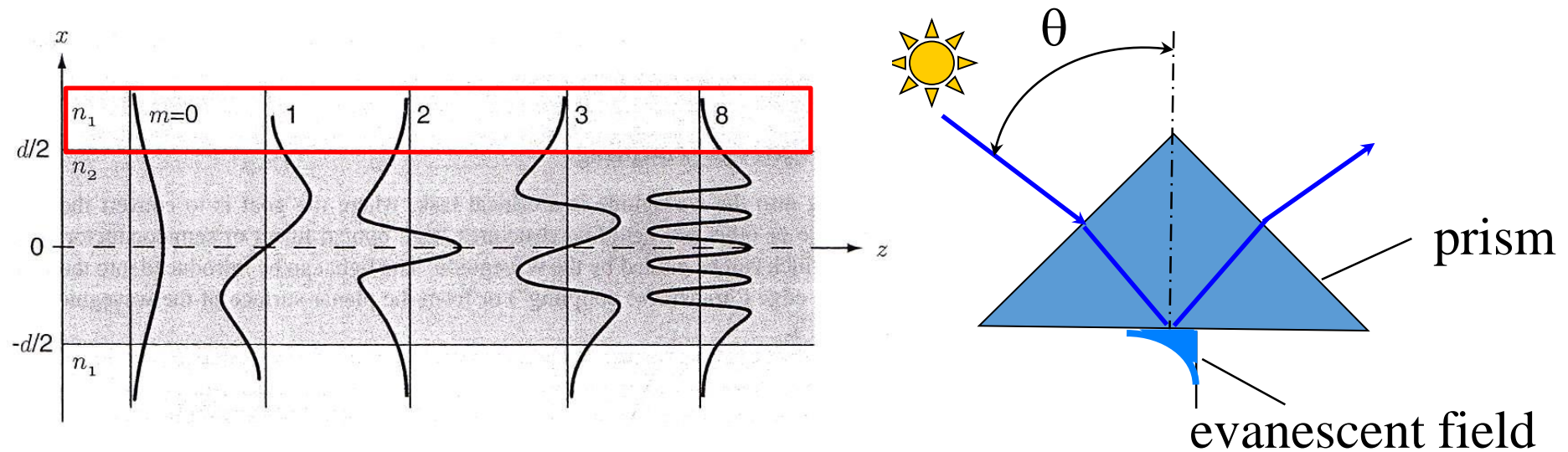


模式间通过透镜耦合



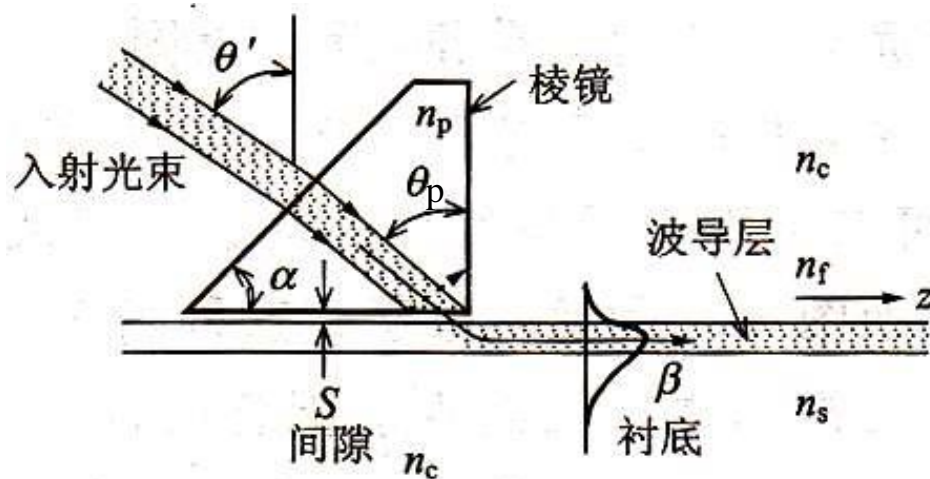
3.4.2 棱镜耦合法

利用高折射率的棱镜，将入射光与导波模之间实现相位匹配，以实现波导光激励的方法。



包层中只有位于隐失场范围内的光波才有可能耦合到波导中

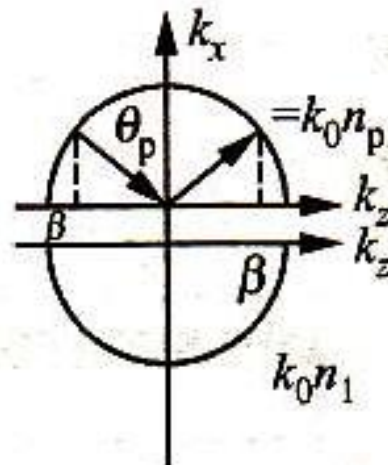
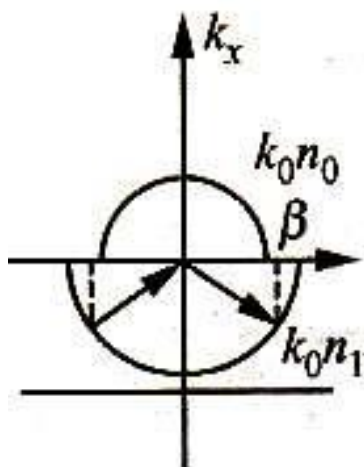
棱镜耦合：



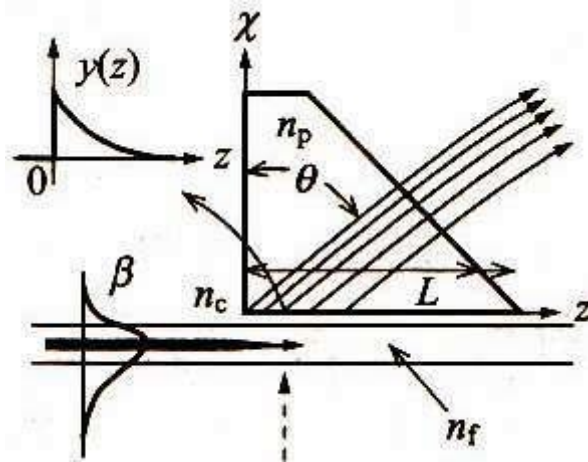
无棱镜：

有棱镜：

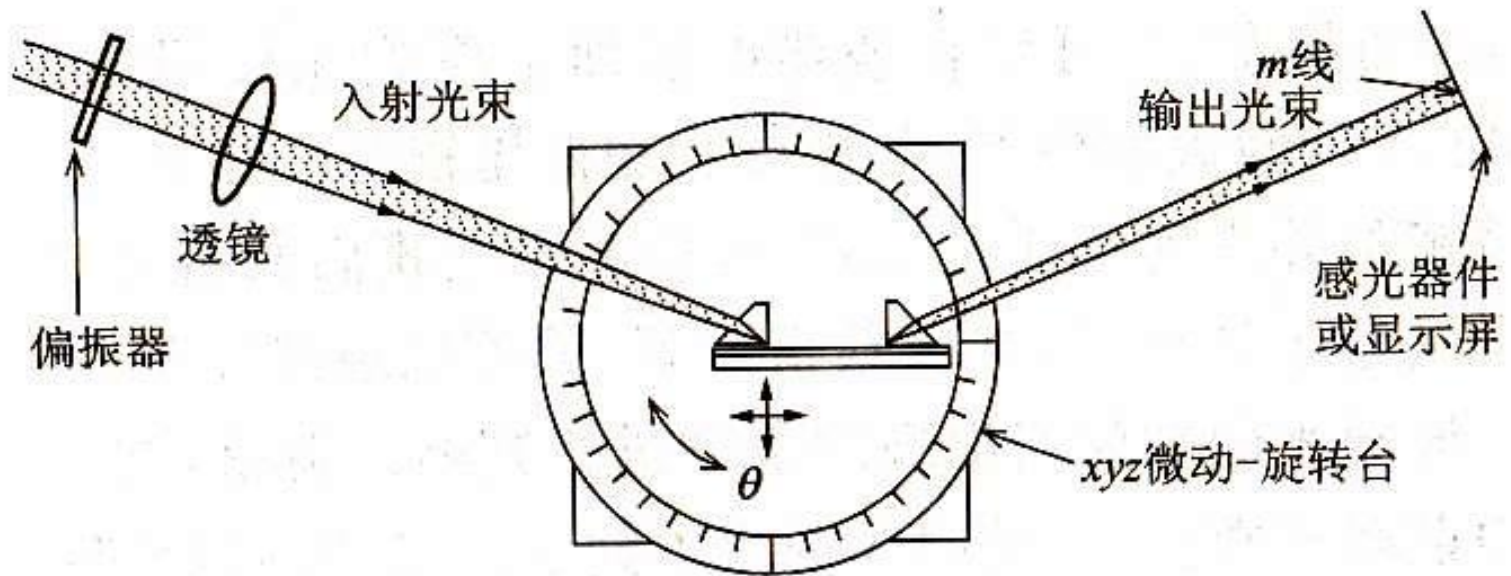
n_1 :芯层
 n_0 :包层



相位匹配

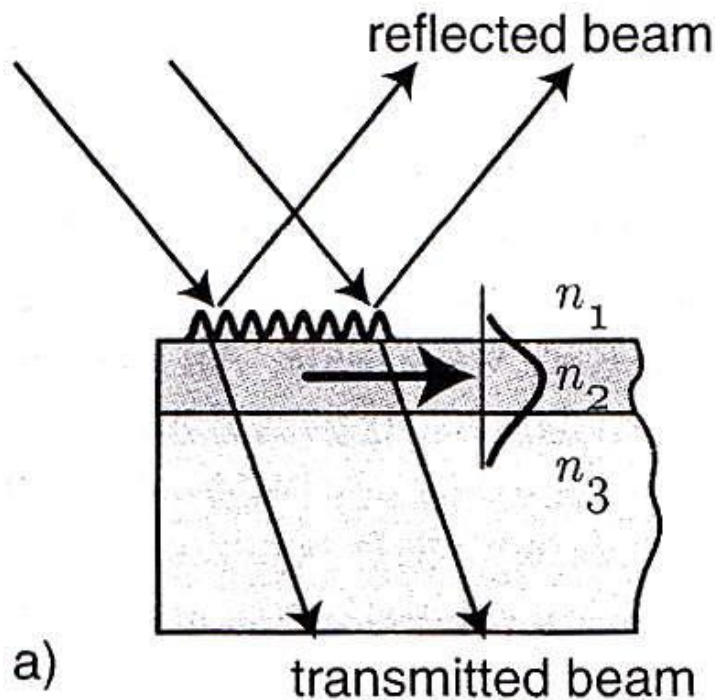


棱镜耦合输出



用棱镜耦合法激励光波导的实验装置

3.4.3 光栅耦合法

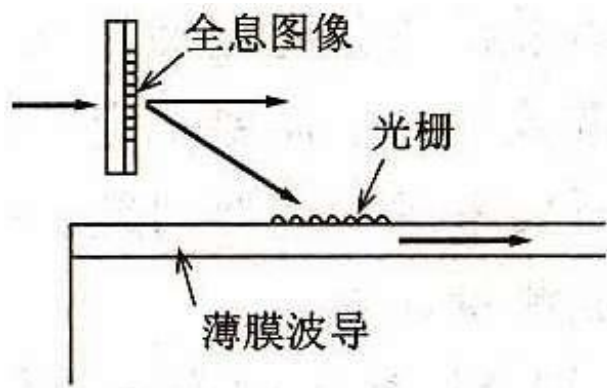


光栅耦合器

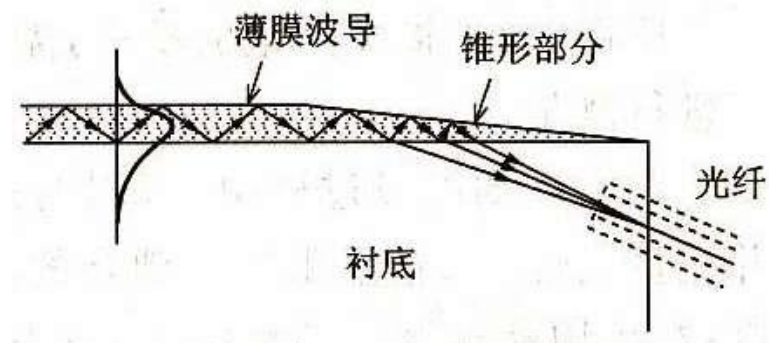
两种等价的解释：

1. 入射光被光栅衍射，衍射光满足光波导的相位匹配条件。
2. 光栅对波导模式产生微扰，使入射光满足相位匹配条件。

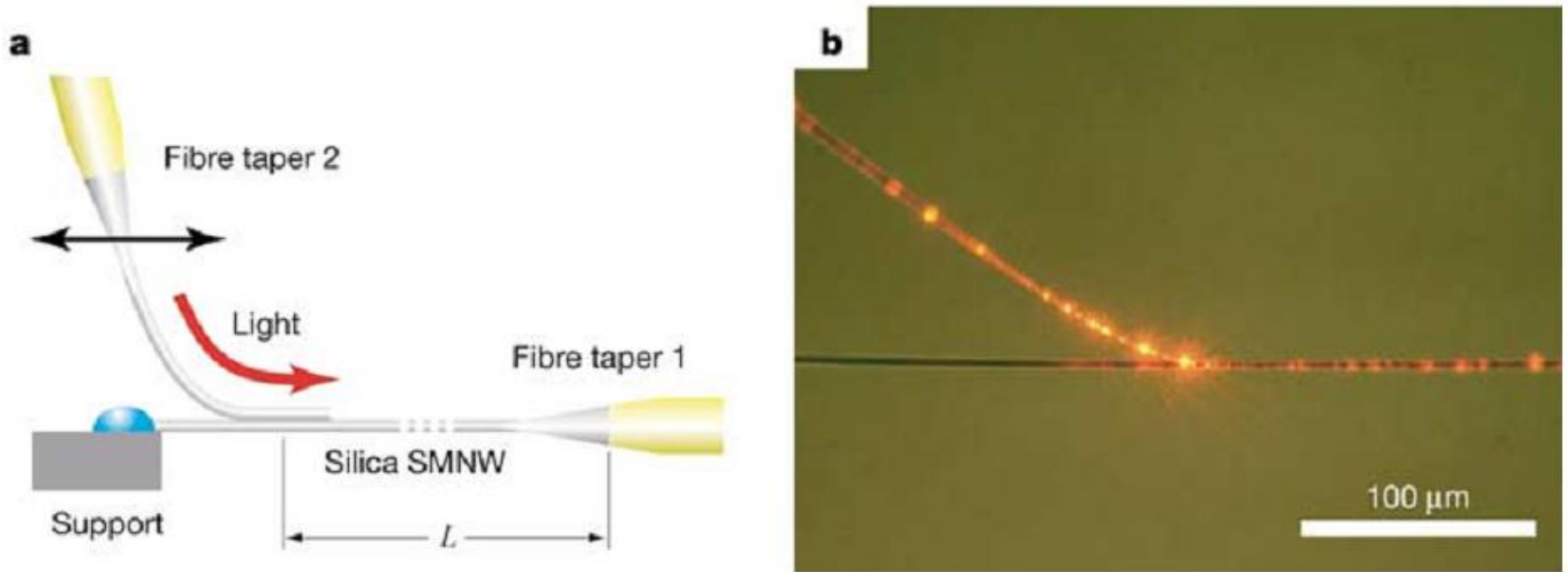
3.4.4 其它方法



全息耦合器



锥形耦合器



纳米光纤的光耦合

基本的集成光子学元件

